

บทที่ 4

ผลการทดสอบจะถูกถือเป็นตัวชี้วัดของการกัดกร่อนของเทอร์มิไฟฟอน การสะสมก้าชัยได้เรื่อง
ภายในห้องเทอร์มิไฟฟอน และค่าความด้านท่านการถ่ายเทความร้อนรวมของเทอร์มิไฟฟอนตาม
ลำดับ โดยสามารถอธิบายผลการทดสอบได้ตามหัวข้อดังต่อไปนี้

4.1 ลักษณะการกัดกร่อนของเทอร์โมไชฟอน

ลักษณะการกัดกร่อนจะเป็นผลจากลายปัจจัย เช่น เวลาที่ทำการทดสอบ อุณหภูมิการใช้งาน วิธีการป้องกันการกัดกร่อนของเทอร์โม่ไฟฟอน และวัสดุที่ใช้ทำเทอร์โม่ไฟฟอน ซึ่งสามารถศึกษาได้ จาก น้ำหนักของห่อที่หายไปหลังการทดสอบ กล้องจุลทรรศน์ เครื่อง X-ray diffractometer (XRD) และเครื่อง Infra-red spectroscopy (IR) ดังต่อไปนี้

4.1.1 คําตัวกรากวักดกภรรภกนเนลี่ย

ข้อมูลอัตราการกัดกร่อนเฉลี่ยที่ได้จากการทดลองมีมากตามชนิดโลหะ และวิธีการป้องกันการกัดกร่อน แต่เนื่องจากข้อมูลส่วนใหญ่มีลักษณะคล้ายคลึงกัน เพื่อเป็นตัวอย่างในการวิเคราะห์ข้อมูลในที่นี้จึงทำการเลือกชุดข้อมูลตัวอย่างของเทอร์โมไฮไฟฟอนที่เป็นท่อเหล็กที่เฝาเป็นเกล้า 2 ชั่วโมง และสารทำงานเป็นน้ำผึ้ง Na_2HPO_4 ความเข้มข้น 20 ppm เพราะเป็นชุดข้อมูลที่มีค่าเบี่ยงเบนมาตรฐานน้อยที่สุด (0.7060 mil/year) โดยข้อมูลดังกล่าวเป็นข้อมูลการทดลองที่อุณหภูมิการใช้งาน 150°C 250°C และ 350°C และมีระยะเวลาการทดสอบ 1000, 2500 และ 4000 ชั่วโมง ตามลำดับ ซึ่งอัตราการกัดกร่อนเฉลี่ยที่เวลาต่างๆ ได้แสดงไว้ในรูป 4.1 เพื่อที่จะประยุกต์ใช้แบบจำลองอาร์เคนท์เนย์ (Arrhenius model) ในการวิเคราะห์ข้อมูลจึงได้ทำการสร้าง Universal curve ของอัตราการกัดกร่อนนี้ โดยปรับค่าข้อมูลในรูป 4.1 เทียบกับสัดส่วนเวลาแล้วนำมาเขียนกราฟใหม่ดังรูป 4.2 ซึ่งเป็นกราฟความสัมพันธ์ระหว่างอัตราการกัดกร่อนเฉลี่ยและผลคูณระหว่างเวลา กับตัวคูณเลื่อนค่า (Shift factor, F(T)) ซึ่งจะได้ความสัมพันธ์เป็นเส้นตรงตามสมการต่อไปนี้

โดยที่ Cr คือ อัตราการกัดกร่อนเฉลี่ย

t. คือ เวลาการทดสอบ

T គីឡូ ឯុទ្ធភាពការិយ៍ផែនការ

จากรูป 4.2 จะสามารถสร้างแผนภาพคร่าวเรนเนียสซ์เป็นความลับระหว่างตัวคุณเลื่อนค่า กับเศษส่วนกลับของคุณหมายใช้งานได้ตามรูป 4.3 ซึ่งจะได้ความลับเป็นเส้นตรงตามสมการ

แทนค่า (4.2) ใน (4.1) จะได้ความสัมพันธ์ของอัตราการกัดกร่อนเนลี่ยกับเศษส่วนกลับของอุณหภูมิเป็น

$$Cr = 298.15(t^{0.7802} e^{(172.52/T)})^{-0.6062} \quad \dots \dots \dots \quad (4.3)$$

ข้อมูลทั้งหมดในส่วนของอัตราการกัดกร่อนเฉลี่ย อัตราการกัดกร่อนสูงสุด และปริมาณก๊าซไฮโดรเจนที่เกิดขึ้นจะวิเคราะห์ในแนวทางนี้ทั้งหมด

4.1.1.1 ผลของการที่ทำภาระดูแล

จากชุดข้อมูลตัวอย่างในหัวข้อ 4.1.1 ได้ทำการเลือกชุดข้อมูลเฉพาะที่ 150°C และแสดงความสัมพันธ์ผลของเวลาทำการทดสอบที่มีต่อค่าอัตราการกัดกร่อนเฉลี่ยที่อุณหภูมิไข่งานนี้ ได้ผลตามรูป 4.4 ซึ่งจะเป็นความสัมพันธ์ของฟังก์ชันยกกำลัง (Power function) ตามสมการ

ความเสียหายจึงน้อยมาก หากพิจารณาให้ละเอียดจากสมการ (4.4) จะพบว่ารูปทั่วไป (General form) คือ

แล้วจะสามารถแสดงค่าสัมประสิทธิ์ (A) และส่วนยกกำลัง (B) ของโลหะชนิดต่างๆ และวิธีการป้องกันแต่ละชนิด ได้ตามตาราง ก1 ซึ่งรวมผลการทดลองทั้งหมดไว้

เมื่อเทียบกับผลการทดลองของ Nishchik et al. (1995) และ Xi and Pan (1994) ชี้ว่าพิจารณาระบบปิดของสแตนเลสและน้ำที่อุณหภูมิ 90°C เป็นเวลา 1000 ชั่วโมง และท่อความร้อนเหล็กกับ Naphthalene ที่อุณหภูมิ 430°C เป็นเวลา 1000 ชั่วโมง ตามลำดับ พบว่า อัตราการกัดกร่อนก็ลดลงในทำนองเดียวกับการทดลองนี้ โดยท่อความร้อนเหล็กกับ Naphthalene มีอัตราการกัดกร่อน 0.15 mil/year ซึ่งน้อยกว่าการทดลองนี้มาก เพราะ Naphthalene ทำปฏิกิริยากับเหล็กได้น้อยกว่าน้ำกลั่น

สรุปได้ว่าเวลาที่ทำการทดสอบมีผลกับอัตราการกัดกร่อนเฉลี่ยนั้นคือ ที่เวลา การทดสอบมากขึ้น อัตราการกัดกร่อนเฉลี่ยจะมีค่าลดลงเรื่อยๆ ซึ่งจะเป็นจังหวัดที่รับเทอร์โม-ไซฟอนทั้งหมดที่ใช้ในการทดสอบ โดยสำหรับเทอร์โมไซฟอนที่ทำการห่อเหล็ก ซึ่งได้รับการป้องกัน การกัดกร่อนด้วยการเผาท่อเป็นเวลา 2 ชั่วโมง และเติม Na_2HPO_4 ลงในสารทำงานที่ความเข้มข้น 20 ppm ที่อุณหภูมิการใช้งาน 150°C จะมีความสัมพันธ์ของค่าอัตราการกัดกร่อนเฉลี่ยกับเวลา เป็น $\text{Cr} = 301.64t^{(-0.6062)}$

4.1.1.2 ผลของอัณหภูมิการใช้งาน

ในทำนองเดียวกับหัวข้อ 4.1.1.1 ผลของอุณหภูมิการใช้งานที่มีต่อค่าอัตราการกัดกร่อนเฉลี่ย จะเป็นไปตามรูป 4.5 ซึ่งแสดงความสัมพันธ์ระหว่างอัตราการกัดกร่อนเฉลี่ยกับเศษส่วนกลับของอุณหภูมิใช้งานของเทอร์โมไฟฟอนที่ทำการหักห้ามแล้วที่ผิวภายในเป็นร่องและสารทำงานเป็นน้ำผึ้ง Na_2HPO_4 ความเข้มข้น 20 ppm ที่ระยะเวลาการทดสอบ 1000 ชั่วโมง และความสัมพันธ์ที่ได้อยู่ในรูปพีฟ์ชันเชิงกำลัง (Exponential function) ตามสมการ

$$Cr = 30.783e^{(-2174.7/T)} \quad \dots \dots \dots \quad (4.6)$$

สัมประสิทธิ์ของสมการนี้ (คือค่า 30.783) จะแสดงถึงอัตราการกัดกร่อนเนลี่ยสูงสุด ในหน่วย mil/year และส่วนยกกำลัง (คือค่า 2174.7) จะแสดงถึงค่าการลดลงของอัตราการกัดกร่อนเนลี่ย ซึ่งจะมีค่าคงที่สำหรับเทอร์โมไฟฟอนแต่ละประเภท มีหน่วยเป็น mil-R/year จากรูปจะเห็นว่าอัตราการกัดกร่อนเนลี่ยจะมีค่าน้อยลง เมื่อจากปฏิกิริยาการกัดกร่อนเป็นปฏิกิริยาเคมีและไฟฟ้าเคมีที่จะเกิดขึ้นน้อยลงตามอุณหภูมิที่ต่ำลง ซึ่งเมื่อคำนวณจากสมการจะพบว่า ที่อุณหภูมิ -46°C ค่าอัตราการกัดกร่อนเนลี่ยจะมีค่าน้อยมาก (0.15 mil/year) แสดงว่าการใช้งานเทอร์โมไฟฟอนในการคุ้นเคยศาสตร์หรือน้ำป้อนเข้าสู่หม้อไอน้ำทั่วๆ ไป ยังคงมีอัตราการกัดกร่อนเนลี่ยมากเสมอ หากพิจารณาสมการ (4.6) ในรูปที่ไว้ปีคือ

แล้วจะสามารถแสดงค่าสัมประสิทธิ์ (C) และส่วนยกกำลัง (D) ของโลหะชนิดต่างๆ และวิธีการป้องกันแต่ละชนิด ได้ตามตาราง ก1 ซึ่งรวมผลการทดลองทั้งหมดไว้

จากการวิจัยของ Mou et al. (1990) และ Nishchik et al. (1995) ชี้ว่าการกัดกร่อนท่อความร้อนเหล็กกับน้ำและระบบปิดของโลหะสแตนเลสกับน้ำ ตามลำดับ พบร่องรอยในน้ำที่เกิดจากปฏิกิริยาไฟฟ้าเคมีและที่อุณหภูมิสูงขึ้นจากการกัดกร่อนจะรุนแรงมากขึ้นหรือมีอัตราการกัดกร่อนที่สูง ซึ่งมีความสอดคล้องกับผลการทดลองที่ได้นี้

สรุปได้ว่าคุณภาพมีการใช้งานมีผลต่อค่าอัตราการกัดกร่อนเฉลี่ยนั่นคือ เมื่อคุณภาพมีการใช้งานมีค่าต่ำลง อัตราการกัดกร่อนเฉลี่ยจะมีค่าลดลงด้วย ซึ่งจะเป็นจริงสำหรับเทอร์โมไฟฟอนทั้งหมดที่ใช้ในการทดสอบ โดยที่ความสัมพันธ์ของค่าอัตราการกัดกร่อนเฉลี่ยกับส่วนกลับของคุณภาพมีการใช้งานสำหรับเทอร์โมไฟฟอนที่ทำจากท่อสเตนเลสที่ผิวภายในเป็นร่องซึ่งได้รับการป้องกันการกัดกร่อนด้วยการเติม Na_2HPO_4 ลงในสารทำงาน 20 ppm ที่ระยะเวลาการทดสอบ 1000 ชั่วโมง คือ $\text{Cr} = 30.783e^{(-2174.7T)}$

4.1.1.3 ผลของวิธีการป้องกันการกัดกร่อน

จากรูป 4.6 ชี้แจงความสัมพันธ์ระหว่างอัตราการกัดกร่อนเฉลี่ยและวิธีการป้องกันการกัดกร่อนของเทอร์โมไไฟฟอนที่ทำจากท่อทองแดง ที่อุณหภูมิและเวลาต่างๆ กัน จะเห็นว่าข้อมูลส่วนใหญ่ดูคล้ายคลึงกัน ในที่นี้จึงเลือกข้อมูลตัวอย่างที่อุณหภูมิการใช้งาน 250°C และเวลาการทดสอบ 1000 ชั่วโมง เพราะเป็นคุณสมบัติที่เห็นความแตกต่างชัดเจนที่สุด ชี้ไปว่าอัตราการกัดกร่อนเฉลี่ยของเทอร์โมไไฟฟอนที่ได้รับการป้องกันการกัดกร่อนด้วยวิธีที่ 2 และ 4 จะไม่

แตกต่างจากเทอร์โมไฮฟอนที่ไม่ได้รับการป้องกันการกัดกร่อน ส่วนเทอร์โมไฮฟอนที่ได้รับการป้องกันการกัดกร่อนด้วยวิธีที่ 3, 5, 6, 7, 8, 9 จะมีค่าอัตราการกัดกร่อนเฉลี่ยต่ำกว่าของเทอร์โมไฮฟอนที่ไม่ได้รับการป้องกันการกัดกร่อนเท่ากับ 1.37, 0.79, 2.45, 0.90, 1.83, 0.30 mil/year ตามลำดับ ดังนั้นเทอร์โมไฮฟอนที่ได้รับการป้องกันการกัดกร่อนด้วยวิธีที่ 6 จะมีค่าอัตราการกัดกร่อนเฉลี่ยต่ำกว่าเทอร์โมไฮฟอนที่ไม่ได้รับการป้องกันการกัดกร่อนมากที่สุดเท่ากับ 2.45 mil/year แสดงว่าวิธีการป้องกันการกัดกร่อนที่ 6 มาตรฐานที่สุดคือ วิธีที่ 6

สำหรับการวิเคราะห์เกี่ยวกับวิธีการป้องกันการกัดกร่อนและวัสดุที่ใช้ทำเทอร์โมไฮฟอน ในส่วนข้อมูลอัตราการกัดกร่อนเฉลี่ย อัตราการกัดกร่อนสูงสุด และปริมาณภ้าซไฮโดรเจนที่เกิดขึ้น ก็จะใช้แนวทางนี้ในการวิเคราะห์ทั้งหมด

ดังนั้นจึงพบว่าเทอร์โมไฮฟอนที่ทำจากห่อเหล็กและห่อสแตนเลสที่ผิวภายในเป็นร่อง เมื่อได้รับการป้องกันการกัดกร่อนด้วยวิธีที่ 5 และ 3 จะมีค่าอัตราการกัดกร่อนเฉลี่ยต่ำกว่าเทอร์โมไฮฟอนที่ไม่ได้รับการป้องกันการกัดกร่อนมากที่สุดเท่ากับ 0.83 และ 4.50 mil/year ตามลำดับ แสดงว่าวิธีการป้องกันการกัดกร่อนที่เหมาะสมสำหรับห่อเหล็กและห่อสแตนเลสที่ผิวภายในเป็นร่องคือวิธีที่ 5 และ 3 ตามลำดับ ส่วนเทอร์โมไฮฟอนที่ทำจากห่อทองแดงที่ผิวภายในเป็นร่องไม่ว่าจะได้รับการป้องกันการกัดกร่อนด้วยวิธีใด ก็ยังมีค่าอัตราการกัดกร่อนเฉลี่ยสูงกว่าเทอร์โมไฮฟอนที่ไม่ได้รับการป้องกันการกัดกร่อน แสดงว่าไม่มีวิธีใดช่วยลดอัตราการกัดกร่อนเฉลี่ยลงได้ สำหรับเทอร์โมไฮฟอนที่ทำจากห่ออะลูมิเนียมนั้นเนื่องจากอัตราการกัดกร่อนเฉลี่ยของแต่ละวิธีมีค่าไม่แตกต่างกัน จึงไม่สามารถสรุปได้ว่าวิธีใดเหมาะสมที่สุด

จากการวิจัยของ Mou et al. (1990), Nishchik et al. (1995), Barantsevich and Barkova (1995) และ Novotna et al. (1994) ซึ่งทำการศึกษาท่อความร้อนเหล็กและน้ำที่อุณหภูมิ 100°C ท่อความร้อนอะลูมิเนียมกับแมงโนเนี่ย และท่อความร้อนเหล็กกับน้ำที่อุณหภูมิ 200°C เป็นเวลา 6000 ชั่วโมง ตามลำดับ พบร่องรอยผิวภายในท่อและเติมสารบัญลงในสารทำงานจะช่วยลดการเกิดการกัดกร่อนลงได้ เช่นเดียวกับการทำทดลองนี้ โดยที่สารบัญที่ดีที่สุดในการด้านงานการกัดกร่อนของท่อความร้อนอะลูมิเนียมกับแมงโนเนี่ยคือ Ammonia nitrate (NH_4NO_3) และวิธีการป้องกันการกัดกร่อนที่ดีที่สุดสำหรับท่อความร้อนเหล็กกับน้ำคือการเติมสารบัญ Potassium chromate (K_2CrO_4) ลงในสารทำงานในอัตราส่วน 5 กรัมต่อน้ำ 1 ลิตร ร่วมกับการทำทดลองที่ได้จากการเทอร์โมไฮฟอนเหล็กกับน้ำ แต่สารบัญและสารที่เคลือบผิวภายในท่อจะเป็น Na_2HPO_4 และออกไซด์ (OSO) แทน

จากที่กล่าวมาทั้งหมดสรุปได้ว่า วิธีการป้องกันการกัดกร่อนที่เหมาะสมที่สุด สำหรับท่อทองแดงและท่อเหล็กคือ การเพาห่อเป็นเวลา 1 ชั่วโมง และเติม Na_2HPO_4 ลงในสารทำงาน 20 และ 10 ppm ตามลำดับ และท่อสแตนเลสที่ผิวภายในเป็นร่องคือ การเติม Na_2HPO_4 ลงในสารทำงาน 20 ppm ส่วนท่อทองแดงที่ผิวภายในเป็นร่องพบว่าไม่มีวิธีใดช่วยลดการกัดกร่อนลงได้ สำหรับท่ออะลูมิเนียมนั้นไม่สามารถสรุปได้ว่าวิธีใดเหมาะสมที่สุด

4.1.1.4 ผลของวัสดุที่ใช้ทำเทอร์โมไชฟอน

จากการวิเคราะห์ในแบบเดียวกับวิธีการป้องกันการกัดกร่อน พบร่วมกับเทอร์โมไชฟอนที่ได้รับการป้องกันการกัดกร่อนด้วยวิธีที่ 1 และ 9 เมื่อทำการห่อทองแดงที่ผิวภายใน เป็นร่องจะมีค่าอัตราการกัดกร่อนเฉลี่ยต่ำสุดเท่ากับ $2.30 \pm 0.38 \text{ mil/year}$ แสดงว่าวัสดุที่เหมาะสมสำหรับใช้ทำเทอร์โมไชฟอนคือท่อทองแดงที่ผิวภายในเป็นร่อง ส่วนเทอร์โมไชฟอนที่ได้รับการป้องกันด้วยวิธีที่ 3 และ 7 เมื่อทำการห่อทองแดงจะมีค่าอัตราการกัดกร่อนเฉลี่ยต่ำสุด เท่ากับ $2.31 \pm 0.79 \text{ mil/year}$ แสดงว่าวัสดุที่เหมาะสมคือท่อทองแดง

จากการวิจัยของ Kojima and Murakami (1990) เป็นการศึกษาห่อความร้อน ที่ทำการห่อทองแดง 2 ชนิด คือ Phosphorous deoxidized copper และ Oxygen-free copper ที่ผิวในของห่อเป็นร่องตามแนวยาวและมีน้ำเป็นสารทำงาน ที่อุณหภูมิ 160° เป็นเวลา 3600 ชั่วโมง พบร่วมกับ Oxygen-free copper จะเกิดการกัดกร่อนน้อยกว่า จะเห็นว่า มีการศึกษาเฉพาะห่อทองแดง 2 ชนิดเท่านั้น การทดลองนี้จึงเพิ่มเติมในส่วนวัสดุอื่นๆ ขึ้นมา

สรุปได้ว่าวัสดุที่เหมาะสมสำหรับใช้ทำเทอร์โมไชฟอนซึ่งไม่ได้รับการป้องกัน การกัดกร่อนหรือได้รับการป้องกันการกัดกร่อนด้วยการเผาห่อเป็นเวลา 2 ชั่วโมงและเติม Na_2HPO_4 ลงในสารทำงาน 20 ppm คือ ห่อทองแดงที่ผิวภายในเป็นร่อง ส่วนวัสดุที่เหมาะสม สำหรับใช้ทำเทอร์โมไชฟอนซึ่งได้รับการป้องกันการกัดกร่อนด้วยการเผาห่อเป็นเวลา 2 ชั่วโมง หรือเติม Na_2HPO_4 ลงในสารทำงาน 20 ppm นั้นคือ ห่อทองแดง

4.1.2 อัตราการกัดกร่อนสูงสุด

เนื่องจากลักษณะการกัดกร่อนที่เกิดขึ้นกับเทอร์โมไชฟอนที่ใช้ในการทดสอบจะเป็นแบบ Pitting คล้ายกันหมวด ดังรูป 4.7 ซึ่งเป็นเทอร์โมไชฟอนที่หันรูปแบบการกัดกร่อนชัดเจนที่สุด โดยจะมีลักษณะเป็นร่องลึกเข้าไปในเนื้อโลหะและมีผลทำให้วัสดุเกิดการเสียหายได้ง่าย จึงจำเป็น ต้องทราบค่าความลึกของร่องสูงสุดซึ่งวัดได้จากภาพถ่ายกล้องจุลทรรศน์ของภาคตัดขวางของ เทอร์โมไชฟอน โดยที่รายละเอียดของวิธีการวัดจะแสดงไว้ในภาคผนวก ๖ จากค่าความลึกของร่อง สูงสุดนำมาคำนวณค่าอัตราการกัดกร่อนสูงสุดซึ่งมีอยู่มากน้อยตามชนิดของโลหะและวิธีการ

ป้องกันการกัดกร่อน ในทำนองเดียวกับหัวข้อ 4.1.1 จึงเลือกชุดข้อมูลตัวอย่างของเทอร์โมไฟฟอนที่เป็นท่อเหล็กที่เผาเป็นเวลา 2 ชั่วโมง และสารทำงานเป็นน้ำผึ้ง Na_2HPO_4 ความเข้มข้น 20 ppm ซึ่งมีค่าเบี่ยงเบนมาตรฐานน้อยที่สุด (21.6804 mil/year) โดยมีการใช้แบบจำลองอาร์เรนท์เนียสกับข้อมูลเหล่านี้เพื่อเดียวกับข้อมูลอัตราการกัดกร่อนเฉลี่ยและได้ความสัมพันธ์ของอัตราการกัดกร่อนสูงสุดกับผลคุณระหว่างเวลา กับตัวคุณเลื่อนค่าเป็นส่วนตรงตามสมการ

โดยที่ Cr_{max} คือ อัตราการกัดกร่อนสูงสุด และตัวคุณลักษณะนี้มีความสัมพันธ์เป็นเส้นตรงกับเศษส่วนกลับของอุณหภูมิใช้งานดังสมการ

แทนค่า (4.9) ใน (4.8) จะได้ความสัมพันธ์ของอัตราการกัดกร่อนสูงสุดกับเศษส่วนคลับของอุณหภูมิเป็น

$$Cr_{max} = 45573 * (t^* 0.0611 e^{(2055.2/T)})^{-0.9682} \dots \dots \dots (4.10)$$

4.1.2.1 ຜົນຂອງເວລາທີ່ກຳກັດຫຼຸດສອບ

ความสัมพันธ์ผลของเวลาการหดสูบที่มีต่อค่าอัตราการหดกร่อนสูงสุด
อุณหภูมิใช้งาน 250°C จะเป็นดังรูป 4.8 ซึ่งมีความสัมพันธ์เป็น Power function ตามสมการ

สมมุติว่า จำนวนของสมการนี้ (คือค่า 88474) แสดงถึงอัตราการกัดกร่อนสูงสุดที่เวลาทดสอบ 1 ชั่วโมง ในหน่วย mil/year และส่วนยกกำลัง (คือค่า 0.9682) จะแสดงถึงอัตราการลดลงของอัตราการ กัดกร่อนสูงสุด โดยจะมีค่าคงที่สำหรับเทอร์โมไฟฟอนแต่ละประเภท ในหน่วย mil/year/hrs จากนั้น จะเห็นว่าอัตราการกัดกร่อนสูงสุดลดลงอย่างต่อเนื่อง ด้วยเหตุผลเดียวกับอัตราการกัดกร่อนเฉลี่ย และเมื่อกำนัณจากสมการจะพบว่า ที่เวลาผ่านไป 912558 ชั่วโมง จะยังคงมีความหนาที่เหลืออยู่

(0.85 mm) มากกว่าความหนาท่อที่น้อยที่สุดที่จะทนความดันทำงานที่อุณหภูมินี้ได้ โอกาสเกิดความเสียหายจึงน้อยมาก หากพิจารณาสมการ (4.11) ในรูปทั่วไปคือ

แล้วจะสามารถแสดงค่าสัมประสิทธิ์ (A) และส่วนยกกำลัง (B) ของโลหะนิดต่างๆ และวิธีการป้องกันแต่ละชนิด ได้ตามตาราง ก1 ซึ่งรวมผลการทดลองทั้งหมดไว้

เมื่อคำนวณจากสมการ (4.4) และ (4.11) พบว่าที่เวลาการทดสอบปิดๆ ขั้ตรา การกัดกร่อนสูงสุดจะมีค่ามากกว่าอัตราการกัดกร่อนเฉลี่ยเสมอ เนื่องจากการกัดกร่อนแบบ Pitting ซึ่งมีลักษณะเป็นร่องลึกเข้าไปในเนื้อโลหะจะเกิดขึ้นเป็นจุดๆ เนพาะตำแหน่งเหล่านั้น ทำให้น้ำหนักหายไปน้อย

เมื่อเปรียบเทียบกับงานวิจัยของ Kojima and Murakami (1990) ซึ่งพิจารณาที่ความร้อนของแรงดันน้ำที่อุณหภูมิ 160°C พบว่าที่ระยะเวลาการทดสอบยาวนานขึ้น จะมีการกัดกร่อนเพิ่มมากขึ้น เช่นเดียวกับการทดลองนี้ แต่เป็นเพียงการสังเกตลักษณะผิวภายในห้องกล้องจุลทรรศน์เท่านั้น ไม่ได้ทำการวิเคราะห์เชิงปริมาณของมาดั้งเช่นที่ทำขึ้นในการทดลองนี้

สรุปได้ว่าเวลาที่ทำการทดสอบมีผลกับอัตราการกัดกร่อนสูงสุดนั้นคือ ที่เวลา
ทำการทดสอบมากขึ้น อัตราการกัดกร่อนสูงสุดจะมีค่าลดลงเรื่อยๆ ซึ่งจะเป็นจริงสำหรับ
เทอร์โมไไซฟอนทั้งหมดที่ใช้ในการทดสอบ โดยสำหรับเทอร์โมไไซฟอนที่ทำการห่อเหล็ก ซึ่งได้รับ¹
การป้องกันการกัดกร่อนด้วยการเพาท์อิ่บเป็นเวลา 2 ชั่วโมง และเติม Na_2HPO_4 ลงในสารทำงานที่
ความเข้มข้น 20 ppm ที่อุณหภูมิการใช้งาน 250°C จะมีความสัมพันธ์ของค่าอัตราการกัดกร่อน
สูงสุดกับเวลาเป็น $\text{Cr}_{\max} = 88474t^{(0.9682)}$

4.1.2.2 ผลของอนุกรรมการใช้งาน

จะเห็นว่ารูป 4.9 แสดงความสัมพันธ์ผลของอุณหภูมิการใช้งานที่มีต่อค่าอัตราการกัดกร่อนสูงสุดของเทอร์โมไฟฟอนที่ทำจากห่อสแตนเลสที่ผิวภายในเป็นร่องและสารทำงานเป็นน้ำผึ้ง Na_2HPO_4 ความเข้มข้น 20 ppm ที่ระยะเวลาการทดสอบ 1000 ชั่วโมง ซึ่งจะมีความสัมพันธ์เป็น Exponential function ตามสมการ

$$Cr_{max} = 500.33e^{(-3067.3/T)} \quad \dots \dots \dots \quad (4.13)$$

สมมประสิทธิ์ของสมการ (คือค่า 500.33) จะแสดงถึงค่ามากสุดของอัตราการกัดกร่อนสูงสุด ในหน่วย mil/year และส่วนยกกำลัง (คือค่า 3067.3) จะแสดงถึงค่าการลดลงของอัตราการ กัดกร่อนสูงสุด โดยจะมีค่าคงที่สำหรับเทอร์โมไฟฟอนแต่ละประเภท มีหน่วยเป็น mil-R/year จากรูปจะเห็นว่าอัตราการกัดกร่อนสูงสุดจะมีค่าลดลง เมื่อจากสาเหตุเดียวกับอัตราการกัดกร่อน เนื่องจาก ซึ่งเมื่อคำนวนจากสมการจะพบว่า ที่อุณหภูมิ -63°C ค่าอัตราการกัดกร่อนสูงสุดจึงจะมีค่า น้อยมาก (0.15 mil/year) แสดงว่าการใช้งานเทอร์โมไฟฟอนทั่วไป ยังคงมีอัตราการกัดกร่อน สูงสุดมากเสมอ หากพิจารณาสมการ (4.13) ในรูปทั่วไปคือ

แล้วจะสามารถแสดงค่าสัมประสิทธิ์ (C) และส่วนยกกำลัง (D) ของโลหะชนิดต่างๆ และวิธีการป้องกันและชันดี ได้ตามตาราง ก1 ซึ่งรวมผลการทดลองทั้งหมดไว้

เมื่อคำนวณจากสมการ (4.6) และ (4.13) พบร่วมที่อุณหภูมิใช้งานได้ฯ อัตราการกัดกร่อนเฉลี่ยจะมีค่าต่ำกว่าข้อตัวการกัดกร่อนสูงสุดเสมอ แสดงว่าไม่ว่าจะใช้งานที่อุณหภูมิใดก็ตามการกัดกร่อนแบบ Pitting ก็ยังคงเกิดขึ้นเฉพาะตำแหน่งเท่านั้น ไม่ทั่วทั้งผิวของโลหะ

จากงานวิจัยของ Mou et al. (1990) และ Nishchik et al. (1995) พบว่าที่อุณหภูมิสูงขึ้นการกัดกร่อนจะรุนแรงมากขึ้น เช่นเดียวกับการทดลองนี้ ทำให้อัตราการกัดกร่อนสูงสุดมีค่าเพิ่มขึ้น

สรุปได้ว่าคุณภาพมีการใช้งานมีผลต่ออัตราการกัดกร่อนสูงสุด นั่นคือ เมื่ออุณหภูมิการใช้งานมีค่าต่ำลง อัตราการกัดกร่อนสูงสุดจะมีค่าลดลง ซึ่งจะเป็นจริงสำหรับเทอร์โมไฟฟอนทั้งหมดที่ใช้ในการทดสอบ โดยที่ความสมมัติของค่าอัตราการกัดกร่อนสูงสุดกับส่วนกลับของคุณภาพการใช้งานสำหรับเทอร์โมไฟฟอนที่ทำจากห่อสแตนเลสที่ผิวขาวในเป็นร่องซึ่งได้รับการป้องกันการกัดกร่อนด้วยการเติม Na_2HPO_4 ลงในสารทำงาน 20 ppm ที่ระยะเวลาการทดสอบ 1000 ชั่วโมง คือ $\text{Cr}_{\max} = 500.33 \text{e}^{(-3067.3/\Gamma)}$

4.1.2.3 ผลของวิธีการป้องกันการกัดกร่อน

จากการวิเคราะห์ในแบบเดียวกับอัตราการกัดกร่อนเฉลี่ย พบร่วมกันที่ 0.01 ± 0.02 และ 18.1 ± 0.02 ซึ่งแสดงให้เห็นว่าตัวอย่างที่ได้รับการป้องกันด้วยวิธีที่ 6, 4, 7 และ 3 ตามลำดับ จะมีค่าอัตราการกัดกร่อนสูงสุดต่ำกว่าเทอร์โมไฟฟอนที่ไม่ได้รับการป้องกันมากที่สุดเท่ากับ 6.01 ± 0.02 , 0.02 ± 0.02 , 18.1 ± 0.02 และ 0.01 ± 0.02 ตามลำดับ

29.12 mil/year ตามลำดับ แสดงว่าวิธีการป้องกันการกัดกร่อนที่เหมาะสมสำหรับท่อทองแดง ท่อเหล็ก ท่อทองแดงที่ผิวภายในเป็นร่อง และท่อสแตนเลสที่ผิวภายในเป็นร่อง คือ วิธีที่ 6, 4, 7 และ 3 ตามลำดับ สำหรับเทอร์โมไฮฟอนที่ทำจากห่ออะลูมิเนียมนั้น เนื่องจากอัตราการกัดกร่อน สูงสุดของแต่ละวิธีมีค่าไม่แตกต่างกัน จึงไม่สามารถสรุปได้ว่าวิธีใดเหมาะสมที่สุด

จากการวิจัยของ Barantsevich and Barkova (1995) ชี้明พิจารณาท่ออะลูมิเนียมกับแอมโมเนียม พบร่วมกันที่ดีที่สุดคือ Ammonia nitrate โดยจะมีค่าความลึกของร่องต่ำสุดเท่ากับ 0.032 มิลลิเมตร ซึ่งน้อยกว่าเทอร์โมไฮฟอนอะลูมิเนียมกับน้ำในการทดลองนี้มากเพรเวน้ำทำปฏิกิริยาการกัดกร่อนกับอะลูมิเนียมได้ดีกว่าแอมโมเนียม ดังนั้นในการทดลองนี้จึงทำการค้นคว้าหาวิธีการป้องกันการกัดกร่อนของเทอร์โมไฮฟอนที่ทำจากวัสดุชนิดต่างๆ กับน้ำขึ้นมา

จากที่กล่าวมาสรุปได้ว่า วิธีการป้องกันการกัดกร่อนที่เหมาะสมที่สุดสำหรับท่อทองแดงคือ การเพาท์อีเป็นเวลา 1 ชั่วโมง และเติม Na_2HPO_4 ลงในสารทำงาน 20 ppm ท่อเหล็กและท่อทองแดงที่ผิวภายในเป็นร่องคือ การเพาท์อีเป็นเวลา 1 และ 2 ชั่วโมง ตามลำดับ ส่วนท่อสแตนเลสที่ผิวภายในเป็นร่องคือ การเติม Na_2HPO_4 ลงในสารทำงาน 20 ppm สำหรับท่ออะลูมิเนียมนั้นไม่สามารถสรุปได้ว่าวิธีใดเหมาะสมที่สุด

4.1.1.4 ผลของวัสดุที่ใช้ทำเทอร์โมไฮฟอน

จากแนวทางการวิเคราะห์เช่นเดียวกับข้อมูลอัตราการกัดกร่อนแล้ว พบร่วมกันที่ได้รับการป้องกันการกัดกร่อนด้วยวิธีที่ 1 และ 7 เมื่อทำจากห่อทองแดงที่ผิวภายในเป็นร่องจะมีค่าอัตราการกัดกร่อนสูงสุดต่ำที่สุดเท่ากับ 20.07 ± 10.15 mil/year แสดงว่าวัสดุที่เหมาะสมสำหรับใช้ทำเทอร์โมไฮฟอนคือห่อทองแดงที่ผิวภายในเป็นร่อง ส่วนเทอร์โมไฮฟอนที่ได้รับการป้องกันด้วยวิธีที่ 3 และ 9 เมื่อทำจากห่อสแตนเลสที่ผิวภายในเป็นร่องจะมีค่าอัตราการกัดกร่อนสูงสุดต่ำสุดเท่ากับ 8.59 ± 1.92 mil/year แสดงว่าวัสดุที่เหมาะสมคือห่อสแตนเลสที่ผิวภายในเป็นร่อง

จากการวิจัยของ Kojima and Murakami (1990) เป็นการเปรียบเทียบการกัดกร่อนภายในท่อความร้อนที่ทำจากห่อทองแดง 2 ชนิดเท่านั้นซึ่งมีน้ำเป็นสารทำงาน ดังนั้นในการทดลองนี้จึงเป็นการศึกษาหารวัสดุชนิดอื่นๆ ที่เหมาะสมสำหรับใช้ทำเทอร์โมไฮฟอน โดยทำการศึกษาจากค่าอัตราการกัดกร่อนสูงสุด

สรุปได้ว่าวัสดุที่เหมาะสมสำหรับใช้ทำเทอร์โมไฮฟอนซึ่งไม่ได้รับการป้องกันการกัดกร่อนหรือได้รับการป้องกันการกัดกร่อนด้วยการเพาท์อีเป็นเวลา 2 ชั่วโมง คือ ห่อทองแดงที่

ผิวภายในเป็นร่อง ส่วนวัสดุที่เหมาะสมสำหรับใช้ทำเทอร์โมไฮฟอนนี้ได้รับการป้องกันการกัดกร่อนด้วยการเผาท่อเป็นเวลา 2 ชั่วโมง และเติม Na_2HPO_4 ลงในสารทำงาน 20 ppm หรือเติม Na_2HPO_4 ลงในสารทำงาน 20 ppm เพียงอย่างเดียวันนี้คือ ห่อสแตนเลสที่ผิวภายในเป็นร่อง

จากที่กล่าวมาทั้งหมดจะเห็นว่าแนวทางการเลือกวิธีการป้องกันการกัดกร่อนที่เหมาะสมกับวัสดุแต่ละชนิดหรือการเลือกใช้วัสดุที่จะทำเป็นท่อเทอร์โมไฮฟอน จะพิจารณาจากค่าอัตราการกัดกร่อนเฉลี่ยและค่าอัตราการกัดกร่อนสูงสุดเมื่อคำนึงถึงความเสียหายที่จะเกิดกับท่อเทอร์โมไฮฟอน โดยในที่นี้แล้วแต่ความต้องการของผู้ใช้งานว่าต้องการใช้ค่าไหนเป็นเกณฑ์การทดสอบใจ แต่จะสังเกตุได้ว่าถ้าความหนาท่อน้อย ก็ควรจะใช้ค่าอัตราการกัดกร่อนสูงสุดเป็นเกณฑ์เนื่องจากท่อบางจะมีโอกาสเกิดการเสียหายจากการกัดกร่อนแบบเป็นร่องลึกเข้าไปในเนื้อโลหะได้ง่าย อย่างเช่นเทอร์โมไฮฟอนที่เป็นท่อเหล็กที่ได้รับการเผาเป็นเวลา 1 ชั่วโมง และสารทำงานเป็นน้ำผลม Na_2HPO_4 ความเข้มข้น 10 ppm ที่อุณหภูมิการใช้งาน 250°C ถ้าสมมุติว่าเหล็กมีความหนาอยู่มาก (0.6 mm) จะพบว่าที่เวลาการทดสอบ 4000 ชั่วโมง ความหนาท่อที่เหลืออยู่จากการพิจารณาค่าอัตราการกัดกร่อนเฉลี่ยและอัตราการกัดกร่อนสูงสุดจะเป็น 0.59 และ 0.29 มิลลิเมตร ตามลำดับ ดังนั้นถ้าพิจารณาจากค่าอัตราการกัดกร่อนเฉลี่ยจะพบว่าความหนาที่เหลืออยู่คงทนต่อความดันทำงานที่อุณหภูมนี้ได้ ทั้งที่จริงแล้วท่ออาจเกิดการเสียหายไปแล้ว เนื่องจากการกัดกร่อนแบบ Pitting ทำให้ความหนาท่อลดลงอย่างมาก

4.1.3 สารที่เคลือบบนผิวภายในท่อเทอร์โมไฮฟอน

จากการตรวจวิเคราะห์สารด้วยเครื่อง XRD และ เครื่อง IR สามารถแยกพิจารณาได้เป็น 3 กลุ่มดังนี้

4.1.3.1 เทอร์โมไฮฟอนที่ทำจากท่ออะลูมิเนียม

จากการวิเคราะห์สารด้วยเครื่อง XRD จะพบว่าสารที่เคลือบบนผิวภายในท่ออะลูมิเนียมทั้งที่เป็นท่อใหม่และท่อที่ผ่านการทดสอบที่ได้รับการป้องกันการกัดกร่อนด้วยวิธีต่างๆ จะเป็น $\text{Al}_2\text{Si}_2\text{O}_5(\text{OH})_4$ เสมอ เนื่องจากในการวิเคราะห์นั้นจะใช้วิธียิงรังสีเอ็กซ์ไปบนแผ่นโลหะโดยจะต้องยิงลึกเข้าไปในผิวโลหะอย่างต่อ 1 ไมโครเมตร ถ้าสารที่เกิดจากปฏิกิริยาการกัดกร่อนบนผิวภายในท่อมีความหนาน้อยกว่า 1 ไมโครเมตร ก็จะทำให้สารที่ตรวจพบในท่อใหม่และท่อที่ผ่านการทดสอบอย่างมากเหมือนกันได้ สำรวจวิเคราะห์สารด้วยเครื่อง IR พบร่วงสารที่เคลือบบนผิวภายในท่อที่ผ่านการทดสอบที่ได้รับการป้องกันการกัดกร่อนด้วยวิธีใดๆ จะเป็น O-H, SiO, OSiO ในขณะที่เมื่อนำท่อใหม่ไปตรวจสอบจะไม่พบสารได้เลย แสดงว่าสาร O-H, SiO,

OSiO ที่ตราชพบจะเกิดจากปฏิกิริยาระหว่างก้าชออกซิเจน น้ำกลัน และผังท่ออะลูมิเนียมซึ่งมี Si เป็นส่วนประกอบ ไม่ได้เกิดจากปฏิกิริยาของ Na_2HPO_4 เลย

จากที่กล่าวมาทั้งหมดจะสรุปได้ว่า สารที่มาเคลือบบนผิวภายในเทอร์โม-ไฮฟอนที่ทำจากห่ออะลูมิเนียมนั้นคือ O-H, SiO, OSiO โดยมีความหนาอยู่ที่ 1 ไมโครเมตร สำหรับผลการทดสอบที่ได้นี้เป็นผลการทดสอบใหม่ที่ทำขึ้นจึงไม่สามารถจะเปรียบเทียบกับผลงานของผู้อื่นได้แต่จะแสดงความเข้าใจในเบื้องต้นมาก

4.1.3.2 เทอร์โมไฮฟอนที่ทำจากห้อทองแดงและห้อทองแดงที่ผิวภายในเป็นร่อง

จากการวิเคราะห์สารด้วยเครื่อง XRD จะพบว่าสารที่เคลือบบนผิวภายในห้อทองแดงและห้อทองแดงที่ผิวภายในเป็นร่อง ทั้งที่เป็นห้อใหม่และห้อที่ผ่านการทดสอบที่ได้รับการป้องกันการกัดกร่อนด้วยวิธีต่างๆ จะเป็น $\text{Cu}_4\text{SO}_4(\text{OH})_6 \cdot \text{H}_2\text{O}$ เมื่อกันหมด เพราะสารที่เกิดจากปฏิกิริยาการกัดกร่อนบนผิวภายในห้อมีความหนาอยู่ที่ 1 ไมโครเมตร สำหรับการวิเคราะห์ด้วยเครื่อง IR พบร่วมกันว่าสารที่เคลือบบนผิวภายในห้อทองแดงและห้อทองแดงที่ผิวภายในเป็นร่องที่ผ่านการทดสอบและได้รับการป้องกันการกัดกร่อนด้วยวิธีใดๆ จะเป็น SO, OSO เมื่อกันหมด ในขณะที่เมื่อนำห้อทองแดงใหม่ไปตรวจสูบจะไม่พบสารใดเลย ส่วนห้อทองแดงที่ผิวภายในเป็นร่องใหม่จะพบสาร SO, OSO เช่นเดียวกัน แสดงว่าสาร SO, OSO ที่ตราชพบบนผิวภายในห้อที่ผ่านการทดสอบเกิดจากปฏิกิริยาระหว่างก้าชออกซิเจน น้ำกลัน และผังท่อซึ่งมี S เป็นส่วนประกอบ ไม่ได้เกิดจากปฏิกิริยาของ Na_2HPO_4 เลย โดยจะยืนยันได้จากสาร SO, OSO ที่ตรวจได้จากห้อทองแดงที่ผิวภายในเป็นร่องใหม่ซึ่งเกิดจากปฏิกิริยาระหว่างก้าชออกซิเจนกับผังท่อที่มี S เป็นส่วนประกอบ

จากการวิจัยของ Kojima and Murakami (1990) ที่พิจารณาห้อความร้อนห้อทองแดงและน้ำ พบร่วมกันว่าสารที่เกิดขึ้นภายในห้อจะเป็นสารอินทรีย์พากพนธุ์ O-H, C-O-C, กลุ่มฟีนิล และวงแหวนเบนซิน ซึ่งจะแตกต่างจากการทดสอบนี้ โดยสารที่เคลือบบนผิวภายในห้อจะเป็น SO และ OSO ซึ่งเป็นสารอินทรีย์แทน เนื่องจากห้อทองแดงและห้อทองแดงที่ผิวภายในเป็นร่องใหม่ที่ใช้ทำเทอร์โมไฮฟอนไม่มี C เป็นส่วนประกอบ

จากที่กล่าวมาทั้งหมดจะสรุปได้ว่าสารที่มาเคลือบบนผิวภายในเทอร์โมไฮฟอนที่ทำจากห้อทองแดงและห้อทองแดงที่ผิวภายในเป็นร่องนั้นคือ SO, OSO โดยมีความหนาอยู่ที่ 1 ไมโครเมตร

4.1.3.3 เทอร์โมไชฟอนที่ทำจากห่อเหล็กและห่อสแตนเลสที่ผิวภายในเป็นร่อง

จากการวิเคราะห์สารด้วยเครื่อง XRD จะพบว่าสารที่เคลือบบนผิวภายในห่อเหล็กและห่อสแตนเลสที่ผิวภายในเป็นร่อง ทั้งที่เป็นห่อมะล็อกและห่อที่ผ่านการทดสอบที่ได้รับการป้องกันการกัดกร่อนด้วยวิธีต่างๆ จะเป็น Fe_2O_3 เมื่อกัน旱มด เพราะสารที่เกิดจากปฏิกิริยาการกัดกร่อนบนผิวภายในห่อที่มีความหนาอยู่กว่า 1 มิครอน สำหรับการวิเคราะห์ด้วยเครื่อง IR พบว่าสารที่เคลือบบนผิวภายในห่อเหล็กและห่อสแตนเลสที่ผิวภายในเป็นร่องที่ผ่านการทดสอบและได้รับการป้องกันการกัดกร่อนด้วยวิธีใดๆ จะเป็น SO, OSO เมื่อกัน旱มด ในขณะที่เมื่อนำห่อเหล็กใหม่ไปตรวจจะจะไม่พบสารใดเลย ส่วนห่อสแตนเลสที่ผิวภายในเป็นร่องใหม่จะพบสาร SO, OSO เช่นเดียวกัน แสดงว่าสาร SO, OSO ที่ตรวจพบบนผิวภายในห่อที่ผ่านการทดสอบเกิดจากปฏิกิริยาระหว่างก้าซออกซิเจน น้ำกลั่น และผังห่อซึ่งมี S เป็นส่วนประกอบ ไม่ได้เกิดจากปฏิกิริยาของ Na_2HPO_4 เลย โดยจะยืนยันได้จากสาร SO, OSO ที่ตรวจได้จากห่อสแตนเลสที่ผิวภายในเป็นร่องใหม่ซึ่งเกิดจากปฏิกิริยาระหว่างก้าซออกซิเจนกับผังห่อที่มี S เป็นส่วนประกอบ

จากการวิจัยของ Novotna et al. (1994) ซึ่งทำการศึกษาห่อความร้อนเหล็กและน้ำ พบว่าในการวิเคราะห์ด้วยรังสีเอกซ์จะได้สารที่เคลือบบนผิวภายในห่อเป็น Fe และ Fe_3O_4 ซึ่งจะแตกต่างจากการทดลองนี้ โดยสารที่ได้จะเป็น SO และ OSO แทน เนื่องจากเป็นสารที่ได้จากการวิเคราะห์ด้วยเครื่อง IR ไม่ใช่เครื่อง XRD

จากที่กล่าวมาทั้งหมดจะสรุปได้ว่าสารที่มาเคลือบบนผิวภายในเทอร์โมไชฟอนที่ทำจากห่อเหล็กและห่อสแตนเลสที่ผิวภายในเป็นร่องนั้นคือ SO, OSO โดยมีความหนาอยู่กว่า 1 มิครอน

4.2 ปริมาตรราก้าซไฮโดรเจนที่เกิดขึ้นภายในเทอร์โมไชฟอน

สาเหตุหนึ่งที่ทำให้ความสามารถในการถ่ายเทความร้อนของเทอร์โมไชฟอนลดลงคือมีราก้าซไฮโดรเจนที่เกิดจากปฏิกิริยาการกัดกร่อนระหว่างผังห่อและสารทำงานในส่วนควบแน่นของเทอร์โมไชฟอน ซึ่งในการทดลองนี้จะได้ข้อมูลปริมาตรราก้าซไฮโดรเจนอย่างมากตามนิดของโลหะและวิธีการป้องกันการกัดกร่อน แต่เนื่องจากข้อมูลส่วนใหญ่มีความคล้ายคลึงกัน ดังนั้นจึงเลือกข้อมูลตัวอย่างของเทอร์โมไชฟอนที่เป็นห่อเหล็กที่เพาเป็นเวลา 1 ชั่วโมง และสารทำงานเป็นน้ำ เพราะมีค่าเบี่ยงเบนมาตรฐานน้อยที่สุด โดยมีการใช้แบบจำลองอาร์เรนที่เนียสกับข้อมูล

เหล่านี้จะได้ความสัมพันธ์ของปริมาณทรัพยากรีสурсกับผลคุณภาพห่วงเวลาที่ตัวคุณเลื่อนค่าเป็นเส้นตรงตามสมการ

โดยที่ ว.คือ ปริมาตรก้าวไชโตรเจน

และตัวคุณเลื่อนค่าจะมีความสัมพันธ์เป็นเส้นตรงกับเศษส่วนกลับของอุณหภูมิใช้งานดังสมการ

แทนค่า (4.16) ใน (4.15) จะได้ความสัมพันธ์ของปริมาตรก้าวไฮโดรเจนกับเศษส่วนกลับของอนุหภูมิเป็น

4.2.1. ผลของเวลาที่ทำการทดสอบ

จากนั้น 4.10 จะเห็นว่าความสัมพันธ์ของเวลาการทดสอบที่มีต่อปริมาตรรากฟ้า
ไอลด์เรน ที่อุณหภูมิการใช้งาน 150°C จะเป็นฟังก์ชันลอการิทึม (Logarithmic function) ตาม
สมการ

สมประสงค์ที่ของ Ln(t) (คือค่า 40.921) แสดงถึงอัตราการเกิดก้าชัยโดยเจนซึ่งจะมีค่าคงที่สำหรับเทอร์โมไฟฟอนแต่ละประเภท มีหน่วยเป็น ml/hrs และจากการคำนวณพบว่าเริ่มมีก้าชัยโดยเจนเกิดขึ้นหลังจากทำการทดสอบไป 853 ชั่วโมง เพราะปฏิกิริยาการกัดกร่อนที่ผลิตก้าชัยโดยเจนจะเกิดขึ้นหลังจากก้าชอยอกซิเจนที่เข้าทำปฏิกิริยาการกัดกร่อนหมดลง จากข้อจะเห็นว่า ปริมาณก้าชัยโดยเจนเพิ่มขึ้นอย่างต่อเนื่อง เพราะเทอร์โมไฟฟอนเป็นระบบปิดทำให้ก้าชัยโดยเจนไม่สามารถหลุดออกได้ และเมื่อคำนวณจากสมการพบว่า ที่เวลาผ่านไป 19004 ชั่วโมง จะมีก้าชัยโดยเจนอยู่เต็มส่วนควบแน่นของเทอร์โมไฟฟอน (127 ml) ทำให้ความสามารถในการถ่ายเทความร้อนของ

เทอร์โมไฟฟ่อนลดลง จึงควรปรับปรุงคุณภาพ เช่น การนำก้าช์ไฮโดรเจนออกจากห้อง หากพิจารณาสมการ (4.18) ในรูปที่ว่าไปคือ

แล้วจะสามารถแสดงค่าสัมประสิทธิ์ (A) และค่าคงตัว (B) ของไลน์นิดต่างๆ และวิธีการป้องกัน
แต่ละนิด ได้ตามตาราง ก1 ซึ่งรวมผลการทดสอบทั้งหมดไว้

เมื่อเทียบกับงานวิจัยของ Baker (1973) และ Mou et al. (1990) ซึ่งเป็นการศึกษาที่ความร้อนสูงสุดแลกับน้ำ ที่อุณหภูมิ 100°F, 200°F และ 300°F เป็นเวลา 2 ปี และที่ความร้อนเหล็กกับน้ำ ตามลำดับ พบร่วมกันก้าช์ไฮไดโรเจนก๊าเพิ่มขึ้นในทำงดเดียวกับการทำลองนี้ แต่ที่ความร้อนเหล็กกับน้ำจะมีปริมาณก้าช์ไฮไดโรเจนคงตัวหลังจากใช้งานไป 60 - 70 วัน ซึ่งจะแตกต่างจากที่ทดลองได้ เนื่องจากทำการวัดปริมาณก้าช์ไฮไดโรเจนที่ 3 เวลาการทดสอบ (1000, 2500 และ 4000 ชั่วโมง) เท่านั้น จึงไม่สามารถตอบอกรูปแบบการสะสมก้าช์ไฮไดโรเจนได้

สรุปได้ว่าเวลาที่ทำการทดสอบมีผลกับปริมาตรร้าชไอล์ดเรนนั้นคือ ที่เวลาการทดสอบมากขึ้น ปริมาตรร้าชไอล์ดเรนจะมีค่าเพิ่มขึ้น ซึ่งจะเป็นจริงสำหรับเทอร์โมไฟฟอนทั้งหมด ที่ใช้ในการทดสอบ โดยสำหรับเทอร์โมไฟฟอนที่ทำจากห่อเหล็ก ซึ่งได้รับการป้องกันการกัดกร่อน ด้วยการเผาห่อเป็นเวลา 1 ชั่วโมง ที่อุณหภูมิการใช้งาน 150°C จะมีความสัมพันธ์ของปริมาตรร้าชไอล์ดเรนกับเวลาเป็น $V = 40.921\ln(t) - 276.17$

4.2.2 ผลของอุณหภูมิการใช้งาน

ผลของอุณหภูมิการใช้งานที่มีต่อปริมาณก้าชไส่ไดรเจน จะเป็นไปตามรูป 4.11 ซึ่งแสดงความสัมพันธ์ระหว่างปริมาณก้าชไส่ไดรเจนกับเศษส่วนกลับของอุณหภูมิใช้งานของเทอร์โมไฟฟอนที่ทำจากท่อสแตนเลสที่ผิวขาวในเป็นร่องและสามารถเป็นน้ำผึ้ง Na_2HPO_4 ความเข้มข้น 20 ppm ที่จะยะเวลาการทดสอบ 4000 ชั่วโมง โดยมีความสัมพันธ์เป็นฟังก์ชันเส้นตรง (Linear function) ตามสมการ

ສັນປະສົງສົກລັບຂອງອຸນຫວມ (ດີວ່າ 208868) ແສດງົງຄ່າກາລດັບຂອງປົມາຕຽກ້າຊ
ໄຊໂດຈານເນື່ອງຈະມີຄ່າກຳທີ່ສຳຫັບເທິງວົນໄຊຝອນແຕ່ລະປະເທດ ມີໜ່ວຍເປັນ ພຣ-ຣ ສ່ວນຄ່າຄົງດ້ວ

(คือค่า 307.03) จะแสดงถึงปริมาณกําชัยโดยเรณสูงสุด ในหน่วย ml จากวุปบวปริมาณกําชัยโดยเรณลดลง เพราะกําชัยโดยเรณเกิดจากปฏิกิริยาการกัดกร่อนซึ่งจะเกิดขึ้นน้อยลงตามอุณหภูมิที่ลดลง และเมื่อคำนวณจากสมการจะพบว่า ที่อุณหภูมิการใช้งาน 105°C จะไม่มีกําชัยโดยเรณเกิดขึ้นในเทอร์โมไฟฟอน หากพิจารณาสมการ (4.20) ในรูปที่ไว้ปีคือ

แล้วจะสามารถแสดงค่าสัมประสิทธิ์ (C) และค่าคงตัว (D) ของโลหะชนิดต่างๆ และวิธีการป้องกัน
แต่ละชนิด ได้ตามตาราง ก1 ซึ่งรวมผลการทดลองทั้งหมดไว้

จากการวิจัยของ Baker (1973) และ Mou et al. (1990) พบว่า มาลของก้าช์ไทรเจนที่เกิดขึ้นในท่อความร้อนลดลง เมื่ออุณหภูมิต่ำลง เช่นเดียวกับการลดลงนี้ งานค่าคงทิวของมาลก้าช์ไทรเจนจะเป็นพังก์ชันของอุณหภูมิใช้งาน ซึ่งไม่เหมือนกับการลดลงนี้ ที่ทราบเพียงว่าปริมาตรก้าช์ไทรเจนที่เกิดขึ้นเป็นพังก์ชันของอุณหภูมิใช้งาน

สรุปได้ว่าคุณภาพมิการใช้งานมีผลต่อปริมาณก้าชไฮโดรเจนที่เกิดขึ้นในส่วนควบแน่นนึ่นคือ เมื่อคุณภาพมิการใช้งานมีค่าต่ำลง ปริมาณก้าชไฮโดรเจนที่เกิดขึ้นจะมีค่าลดลงด้วย ซึ่งจะเป็นจริงสำหรับเทอร์โนไซฟอนทั้งหมดที่ใช้ในการทดสอบ โดยที่ความสัมพันธ์ปริมาณก้าชไฮโดรเจนกับส่วนกลบของคุณภาพมิการใช้งานสำหรับเทอร์โนไซฟอนที่ทำจากหอสเทนเลสที่ผิวขาวในเป็นร่อง ซึ่งได้รับการป้องกันการกัดกร่อนด้วยการเติม Na_2HPO_4 ลงในสารทำงาน 20 ppm ที่ระยะเวลาการทดสอบ 4000 ชั่วโมง คือ $V = -208868/T + 307.03$

4.2.3 ผลของวิธีการป้องกันการกัดกร่อน

จากการวิเคราะห์ในทำนองเดียวกับที่ผ่านมา จะพบว่า เทอร์โนไซฟอนที่ทำจากห่อหงายและห่อหงายที่ผ่านร่อง เมื่อได้รับการป้องกันการกัดกร่อนด้วยวิธีที่ 6 และวิธีที่ 7 กับ 9 ตามลำดับ จะไม่มีก้าชไอก่อเจนเกิดขึ้นในเทอร์โนไซฟอน แสดงว่าวิธีการป้องกันที่เหมาะสมสำหรับห่อหงายและห่อหงายที่ผ่านร่องคือ วิธีที่ 6 และ วิธีที่ 7 กับ 9 ตามลำดับ ผู้นี้เทอร์โนไซฟอนที่ทำจากห่อหงายและห่อหงายที่ผ่านร่อง เมื่อได้รับการป้องกันการกัดกร่อนด้วยวิธีที่ 7 เหมือนกัน จะมีปริมาณก้าชไอก่อเจนน้อยกว่าในเทอร์โนไซฟอนที่ไม่ได้รับการป้องกันการกัดกร่อนมากที่สุดเท่ากับ 45.08 และ 1.02 ml ตามลำดับ แสดงว่าวิธีที่เหมาะสมกับห่อหงายและห่อหงายที่ผ่านร่องคือ วิธีที่ 7 สำหรับห่อหงายและห่อหงายที่ผ่านร่อง

อะลูมิเนียม เมื่อได้รับการป้องกันด้วยวิธีที่ 6 จะมีปริมาณก้าชไอก่โดเรเจนน้อยกว่าวิธีที่ 5 เท่ากับ 10.89 ml แสดงว่าวิธีที่ 6 หมายความกับท่ออะลูมิเนียมมากกว่าวิธีที่ 5

จากการวิจัยของ Nishchik et al. (1995) และ Novotna et al. (1994) ชี้พิจารณา เทอร์โมไฟฟอนเหล็กและน้ำ ที่อุณหภูมิ 100°C และ 200°C ตามลำดับ พบว่าการเติมสารยับยั้งลง ในสารทำงานหรือการเคลือบผิวภายในห่อ จะช่วยลดปริมาณก้าชไอก่โดเรเจนในห่อลงได้ เช่นเดียวกับการทดลองนี้ โดยที่การป้องกันการกัดกร่อนที่ดีที่สุดคือ การเติมสาร K_2CrO_4 ลงในสารทำงาน รวมกับการเคลือบผิวภายในห่อด้วย Fe_3O_4 เพราะแม่ก้าชไอก่โดเรเจนเกิดขึ้นในห่อ ซึ่งจะแตกต่างจากการทดลองนี้ที่วิธีที่ดีที่สุดจะเป็นการเคลือบผิวภายในห่อเพียงอย่างเดียว เนื่องจากสารยับยั้ง และสารที่เคลือบบนผิวห่อไม่เหมือนกัน

จากที่กล่าวมาทั้งหมดสรุปได้ว่า วิธีการป้องกันการกัดกร่อนที่เหมาะสมที่สุดสำหรับห่อ ทองแดงคือ การเผาห่อเป็นเวลา 1 ชั่วโมง และเติม Na_2HPO_4 ลงในสารทำงาน 20 ppm และห่อ ทองแดงที่ผิวภายในเป็นร่องคือ การเผาห่อเป็นเวลา 2 ชั่วโมง หรือการเผาห่อเป็นเวลา 2 ชั่วโมง และเติม Na_2HPO_4 ลงในสารทำงาน 20 ppm สำหรับเหล็กและห่อสเตนเลสที่ผิวภายในเป็นร่องคือ การเผาห่อเป็นเวลา 2 ชั่วโมง สำหรับห่ออะลูมิเนียมคือ การเผาห่อเป็นเวลา 1 ชั่วโมง และเติม Na_2HPO_4 ลงในสารทำงาน 20 ppm

4.2.4 ผลของวัสดุที่ใช้ทำเทอร์โมไฟฟอน

จากการวิเคราะห์ในแบบเดียวกับข้อมูลอัตราการกัดกร่อนเฉลี่ยและอัตราการกัดกร่อน ที่สูงสุด พบว่า เทอร์โมไฟฟอนที่ได้รับการป้องกันการกัดกร่อนด้วยวิธีที่ 1 และ 3 เมื่อเทียบ กับห้องแดงจะมีปริมาณก้าชไอก่โดเรเจนเกิดขึ้นต่ำสุดเท่ากับ 12.62 ± 12.24 ml แสดงว่าวัสดุที่เหมาะสมสำหรับใช้ทำเทอร์โมไฟฟอนคือห้องแดง สำหรับเทอร์โมไฟฟอนที่ได้รับการป้องกันด้วยวิธีที่ 7 และ 9 เมื่อเทียบกับห้องแดงที่ผิวภายในเป็นร่องจะไม่มีก้าชไอก่โดเรเจนเกิดขึ้นภายในห่อ แสดงว่าวัสดุที่เหมาะสมคือห้องแดงที่ผิวภายในเป็นร่อง

จากการวิจัยที่ผ่านๆ มาพบว่ามีเพียงงานวิจัยของ Kojima and Murakami (1990) เท่านั้นที่ทำการเปรียบเทียบการกัดกร่อนในห้องแดง 2 ชนิด ดังนั้นในการทดลองนี้จึงทำการ เปรียบเทียบการกัดกร่อนในเทอร์โมไฟฟอนที่ทำจากโลหะชนิดต่างๆ โดยทำการศึกษาจากปริมาณ ก้าชไอก่โดเรเจนที่เกิดขึ้นในเทอร์โมไฟฟอน เพื่อเป็นแนวทางในการหาวัสดุที่เหมาะสมสำหรับใช้ทำ เทอร์โมไฟฟอนต่อไป

สรุปได้ว่าวัสดุที่เหมาะสมสำหรับใช้ทำเทอร์โมไฟฟอนซึ่งไม่ได้รับการป้องกันการกัดกร่อนหรือได้รับการป้องกันการกัดกร่อนด้วยการเติม Na_2HPO_4 ลงในสารทำงาน 20 ppm คือ

ท่อห้องแดง ส่วนวัสดุที่เหมาะสมสำหรับใช้ทำเทอร์โมไฟฟอนนีซึ่งได้รับการป้องกันการกัดกร่อนด้วย การเผาท่อเป็นเวลา 2 ชั่วโมง หรือการเผาท่อเป็นเวลา 2 ชั่วโมงและเติม Na_2HPO_4 ลงในสารทำงาน 20 ppm นั้นคือ ท่อห้องแดงที่ผิวขาวภายในเป็นร่อง

จากการทดลองที่ผ่านมาทั้งหมด พบว่า ห้องแต่งที่ผิวน้ำในเป็นร่องเป็นวัสดุที่ทนทานต่อการกัดกร่อนเมื่อพิจารณาจากค่าอัตราการกัดกร่อน และยังพบว่าไม่มีก้าชไอกะเจนเกิดขึ้นในห้องด้วย จึงสรุปได้ว่าวัสดุที่เหมาะสมสำหรับใช้ทำเท รโนไซฟอนคือห้องแต่งที่ผิวน้ำในเป็นร่อง

4.3 ค่าความต้านทานการถ่ายเทความร้อนรวมของเทอร์โมไซฟอน

เนื่องจากเทอร์โนไซฟ่อนเมื่อใช้งานไปจะมีก้าชัยโดยเร้นเกิดขึ้นในส่วนควบคุมและมีสารที่เกิดจากปฏิกิริยากรดกร่อนมาเคลือบบนผิวภายในห้องทำให้ความสามารถในการถ่ายเทความร้อนเสื่อมลง แสดงว่าความต้านทานการถ่ายเทความร้อนรวมของเทอร์โนไซฟ่อน (Z_{total}) จะเปลี่ยนแปลงไปดังรูป 4.12(ก) ซึ่งมีค่าความต้านทานความร้อนเพิ่มขึ้น 2 ส่วน คือ

Z_H คือ ค่าความต้านทานความร้อนที่เกิดจากก๊าซไฮโดรเจนในส่วนควบแน่น

$Z_{fouling}$ คือ ค่าความต้านทานความร้อนของ fouling หรือสารที่เคลือบบนผิวภายในท่อ แต่เนื่องจากค่าการนำความร้อนของก้าชไทรเจนมีค่าน้อยมาก ดังนั้นค่า Z_h จึงมีค่ามากจนความร้อนส่วนใหญ่จะผ่าน Z_h มากกว่า จึงสามารถตัดค่า Z_h ออกได้ และสำหรับค่า $Z_{fouling}$ ตามรูป 4.12(ข) นั้น จะเห็นว่ามีลักษณะเป็นฟังก์ชันของเวลาถ้าหากถ้าจะเพิ่มขึ้นตามเวลาที่ผ่านไปหรือลดลงหากมีการทำการทำความสะอาดภายในท่อ ข้อมูลค่าความต้านทานความร้อนรวมของเทอร์โม-ไฟฟอนในการทดลองมีมากมาย เช่นเดียวกัน ซึ่งข้อมูลส่วนใหญ่ไม่สามารถนำมาหาความสัมพันธ์ได้ อาจเป็นผลมาจากการทดสอบสั้นไปจึงมีก้าชไทรเจนและสารที่เคลือบบนผิวภายในท่อเกิดขึ้นน้อย แต่มีบางข้อมูลสามารถหาความสัมพันธ์ได้ และมีลักษณะคล้ายคลึงกัน ในที่นี้จึงเลือกข้อมูลตัวอย่างของเทอร์โมไฟฟอนที่เป็นท่อเหล็กซึ่งถูกเผาเป็นเวลา 1 ชั่วโมง และสารทำงานเป็นน้ำผึ้ง Na_2HPO_4 ความเข้มข้น 10 ppm ที่อุณหภูมิใช้งาน 350°C เพราะเป็นชุดข้อมูลที่เห็นความแตกต่างชัดเจนที่สุด ได้มีการนำแบบจำลอง fouling ของ Kern and Seaton มาประยุกต์ใช้กับข้อมูลเหล่านี้ โดยหาความสัมพันธ์ของ $\ln(dZ_{tot}/dt)$ กับเวลา เพื่อหาค่าอัตราการก่อตัวของ fouling (ϕ_t) และค่าสมประสิทธิ์ของอัตราการหลุดร่วงของ fouling (β) ซึ่งจะได้ความสัมพันธ์ดังรูป 4.13 ที่เป็นฟังก์ชันลําดับของสมการ

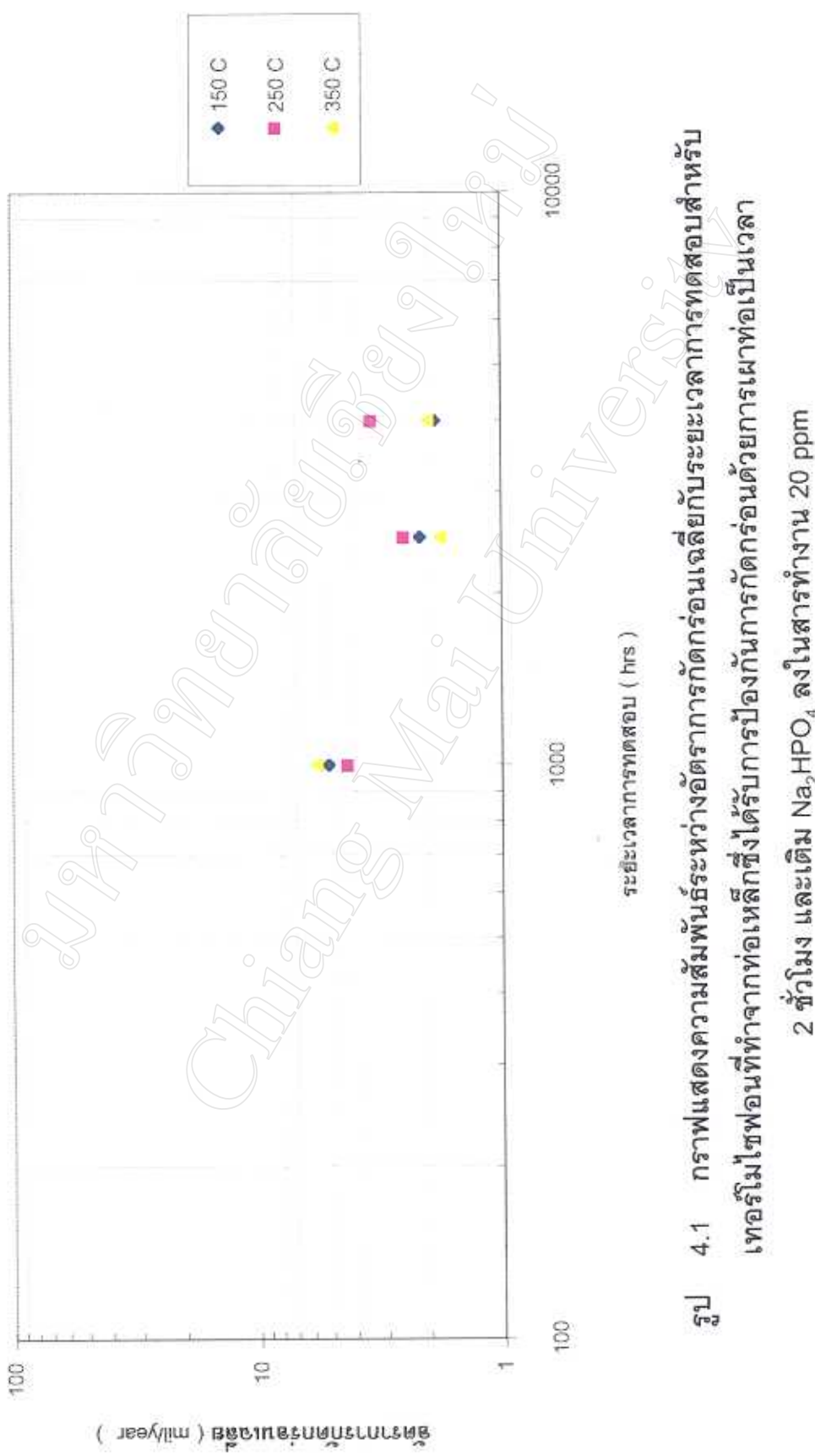
โดยที่ $(-\beta)$ คือ -0.0001 และ $\ln(\phi_d)$ คือ -4.0298 ดังนั้น β จึงมีค่าเท่ากับ 0.0001 hrs^{-1} ส่วน ϕ_d จะมีค่าเท่ากับ 0.017778 K/W-hrs แทนค่า β และ ϕ_d ลงในสมการ fouling ของ Kern and Seaton จะได้ความสมพันธ์ของค่าความต้านทานความร้อนของ fouling กับเวลาเป็น

ซึ่งเมื่อนำมาเขียนลงบนกราฟดังรูป 4.14 จะเห็นว่าความต้านทานความร้อนของ fouling มีค่าเป็นศูนย์เมื่อเริ่มทดสอบ แล้วจึงมีค่าเพิ่มขึ้นตามเวลาการทดสอบ เมื่อจากมีการสะสมของสารที่เกิดจากปฏิกิริยาการกัดกร่อนบนผิวห่อ และจากสมการ (4.23) พบว่า ที่เวลาผ่านไป 60000 ชั่วโมง ค่าความต้านทานความร้อนของ fouling จะเริ่มคงที่เท่ากับ 177.78 KW เพราะเกิดการกัดกร่อนน้อยมาก จนแทบไม่มีการสะสมของสารที่เกิดจากการกัดกร่อนบนผิวห่อ หากพิจารณาสมการ (4.23) ในรูปที่ 4.14 ได้

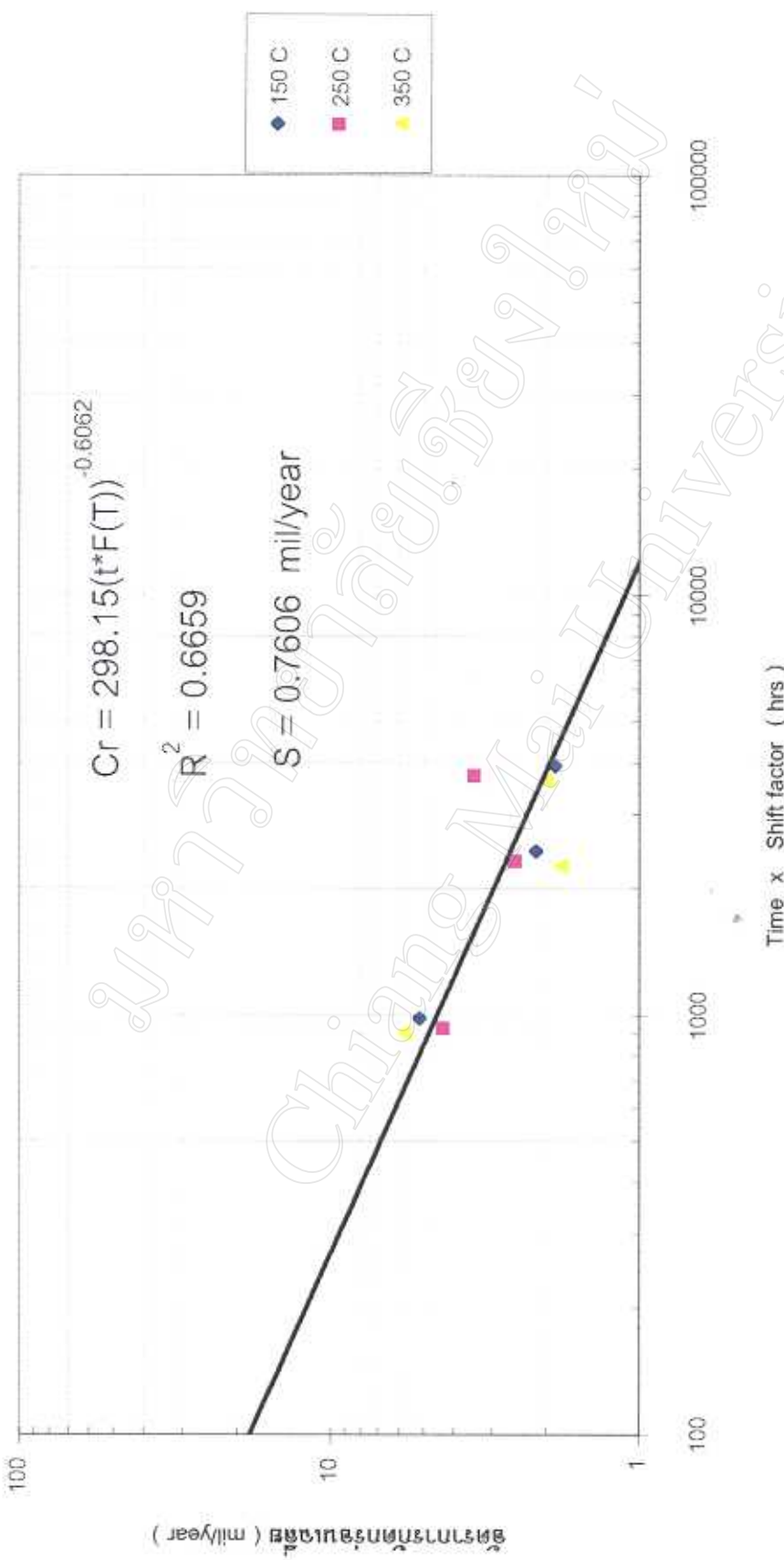
แล้วจะสามารถแสดงค่าสัมประสิทธิ์ (E) และส่วนยกกำลัง (F) ของโลหะชนิดต่างๆ และวิธีการป้องกันแต่ละชนิด ได้ตามตาราง ก2 ซึ่งรวมผลการทดลองส่วนนี้ไว้ทั้งหมด

จากการวิจัยของ Nishchik et al. (1995) พบว่าการเกิดการกัดกร่อนจะสร้างสารมาเคลื่อนผิวภายในท่อความร้อนแบบค่ายเป็นค่ายไป จึงมีผลกระทบทางลบต่อความสามารถในการถ่ายเทความร้อน ซึ่งมีความสอดคล้องกับผลการทดลองนี้คือ ค่าความด้านท่านความร้อนของ fouling จะมีค่าเพิ่มขึ้นตามเวลาการทดสอบ ทำให้ค่าความด้านท่านความร้อนรวมของเทอร์โมไฟฟอนมีค่าสูงขึ้นด้วย

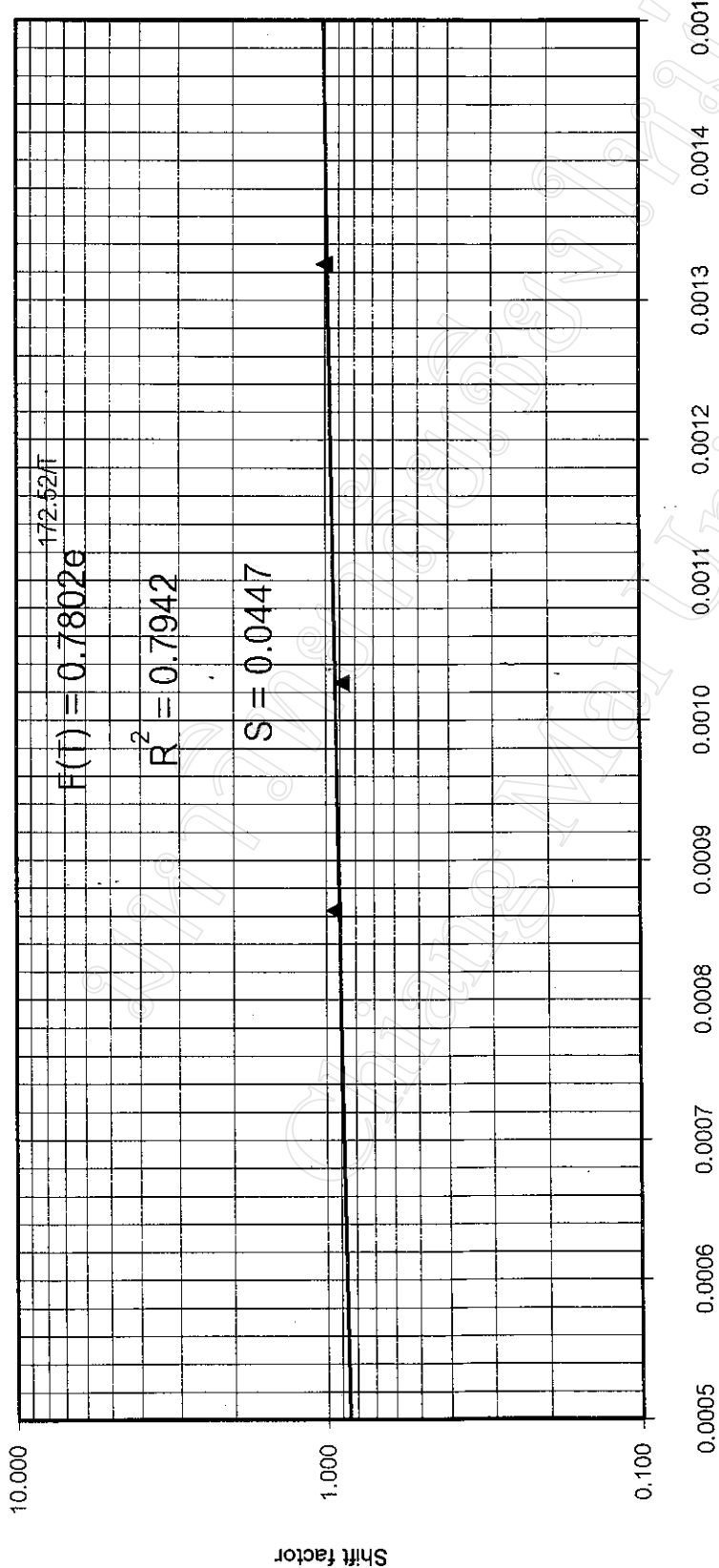
สรุปได้ว่าการสะสมของสารที่เกิดจากปฏิกิริยาการกัดกร่อนบนผิวภายนอกห้องท่อจะมีผลทำให้เกิดความต้านทานความร้อนของ fouling ขึ้น ซึ่งจะมีค่าสูงขึ้นตามเวลาการทดสอบ โดยสำหรับเทอร์โมไฟฟอนที่ทำจากห่อเหล็กซึ่งได้รับการป้องกันการกัดกร่อนด้วยการเผาห่อเป็นเกล้า 1 ชั่วโมง และเติม Na_2HPO_4 ลงในสารทำงาน 10 ppm ที่อุณหภูมิการใช้งานประมาณ 350°C จะหาก้าความต้านทานความร้อนของสารที่เคลือบบนผิวภายนอกห้องท่อได้จาก $Z_{\text{fouling}} = 177.78(1 - e^{-0.0001t})$



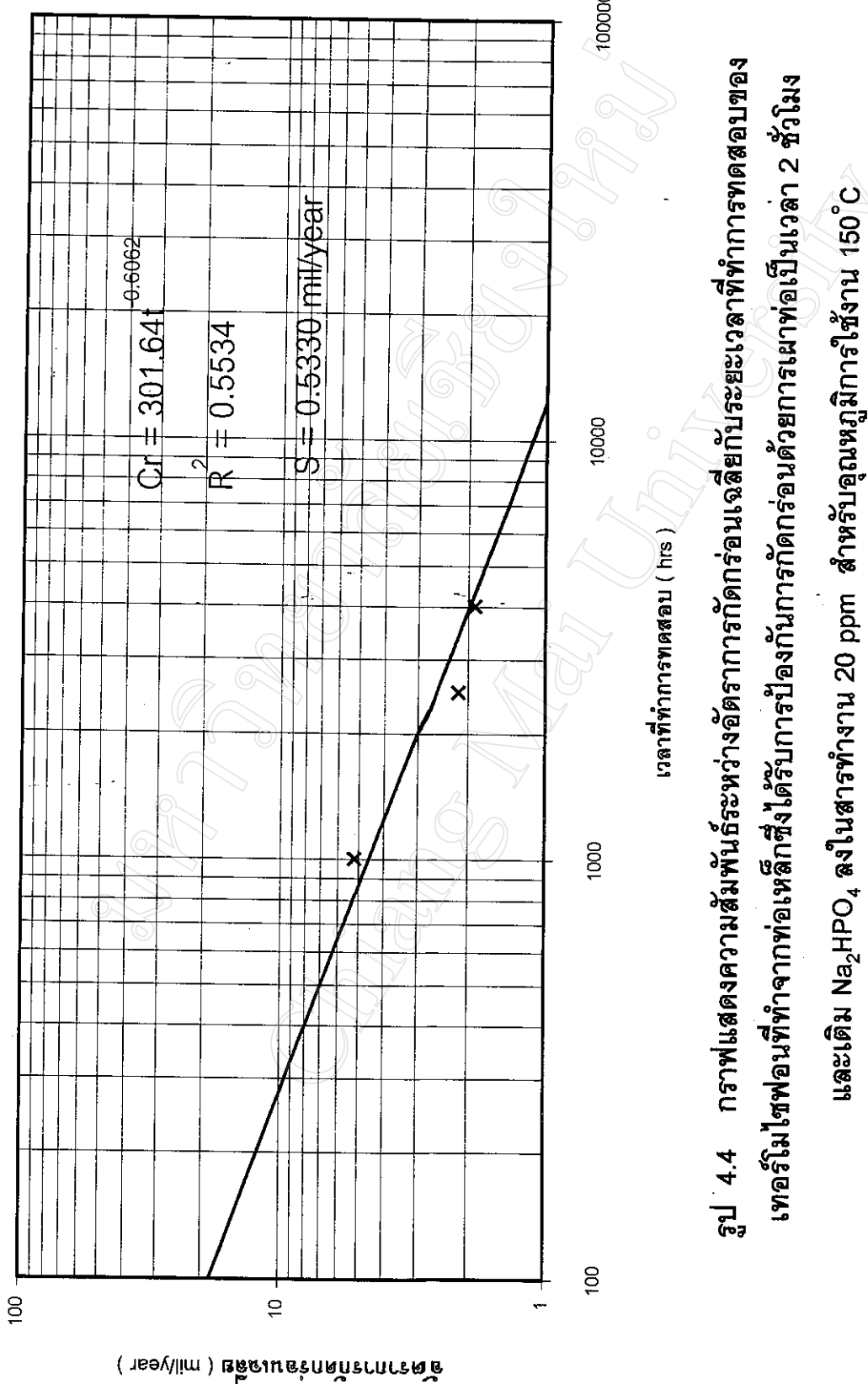
รูป 4.1 กราฟแสดงความสัมพันธ์ระหว่างอัตราการเกิดร่องรอยกับระยะเวลาการทดสอบสำหรับทดลองที่ทำจากห่อเหล็กซึ่งไดรบุนกการป้องกันการเกิดร่องรอยด้วยการเผาบนเวลากว่า 2 ชั่วโมง และเติม Na_2HPO_4 ลงในสารทำ้งน 20 ppm



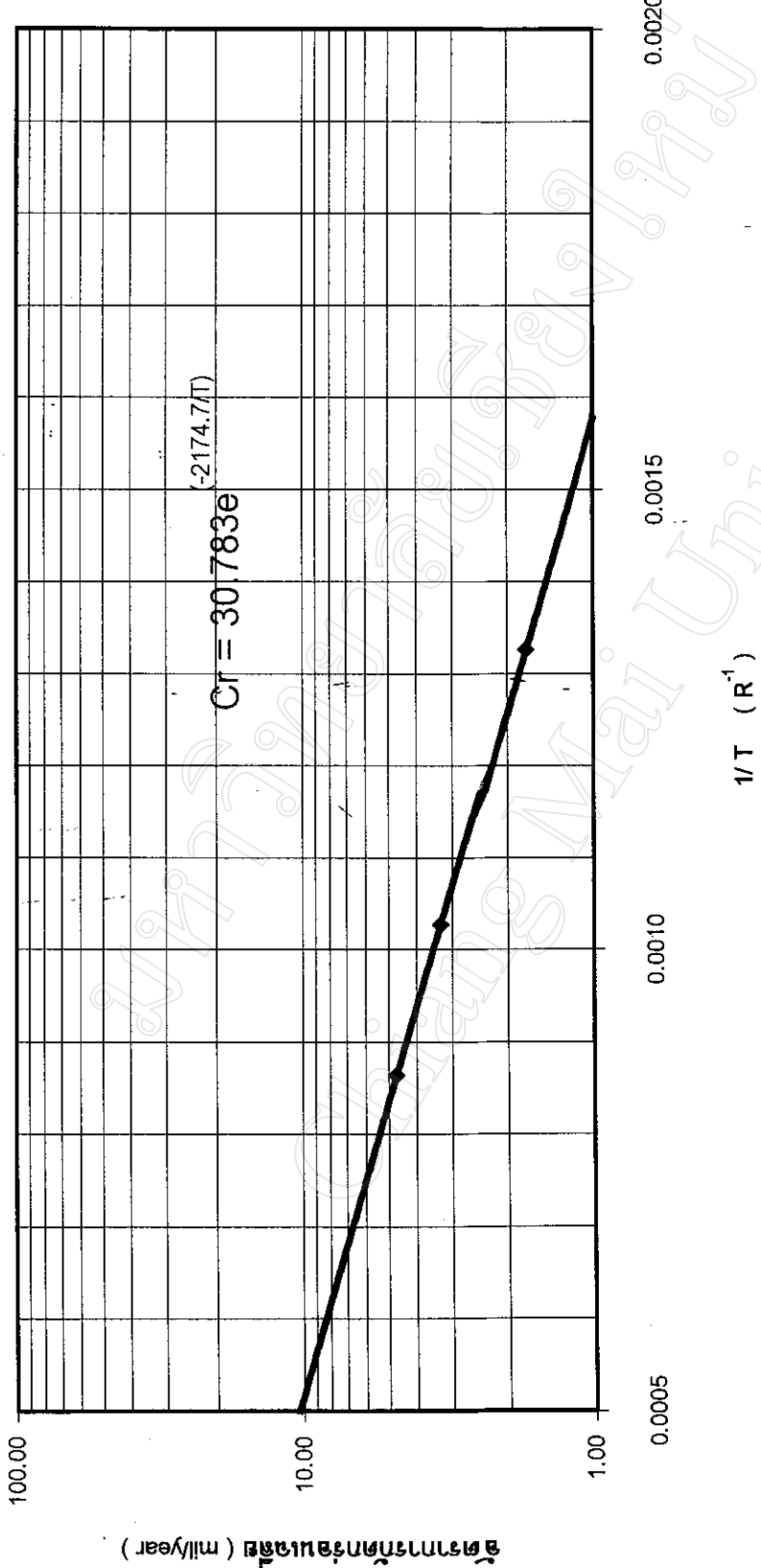
รูป 4.2 Universal curve ของข้อมูลครั้งต่อครั้งของการถอย退步ในสภาวะท่อร้อนที่พอกอนห้ามท่อ
ท่อเหล็กชุบเงาเป็นเวลา 2 ชม. และเติม Na_2HPO_4 ลงในสารทำงาน 20 ppm



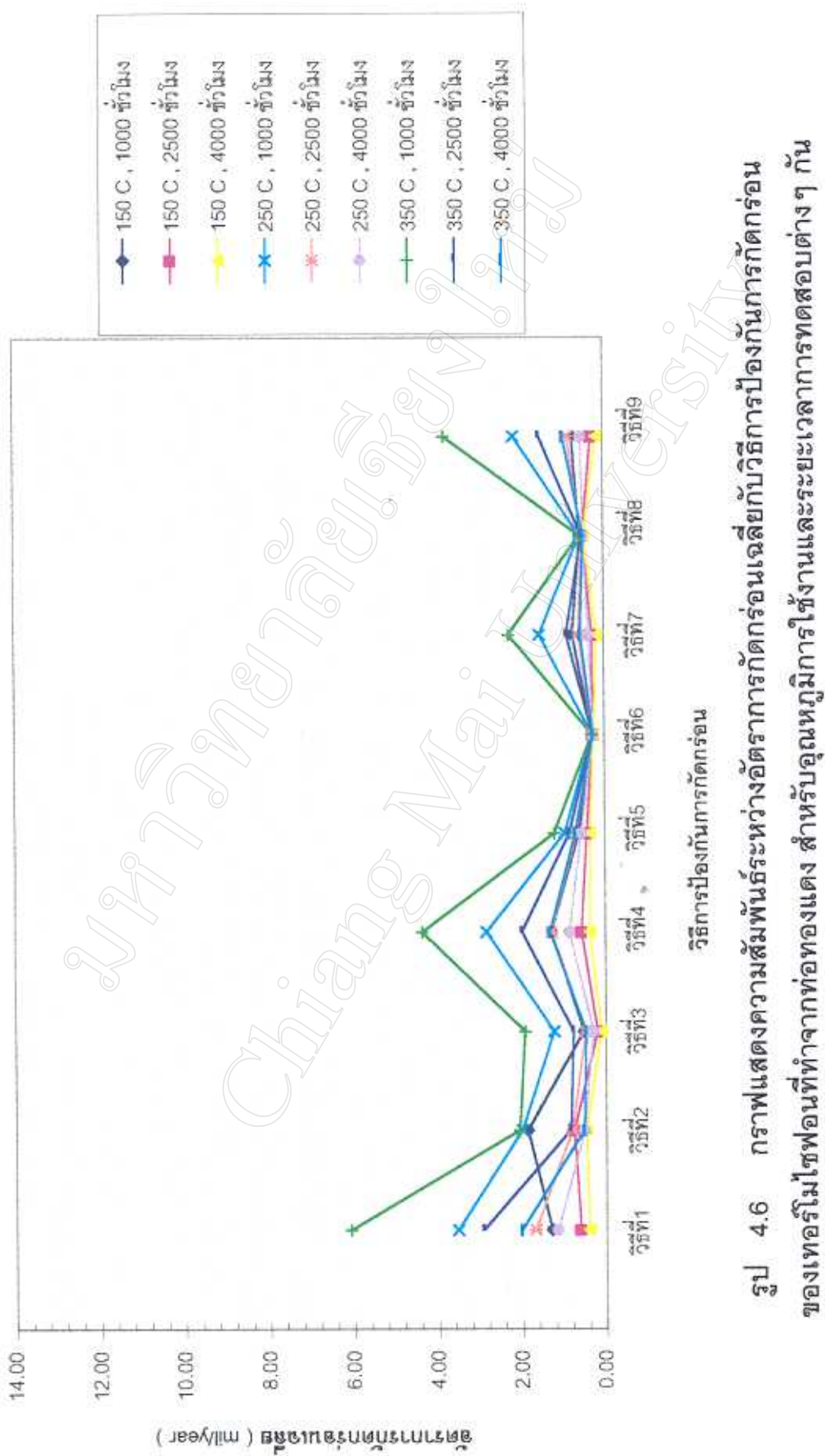
รูป 4.3 ผลของการเรซอนเดนต์คูณส่วนค่าอัตราการถก返ของเอนไซม์ในแบบที่ไม่มีเอนไซม์
เหลวในสภาพอนที่ทำตัวอย่างท่อเหล็กซึ่งถูกนำไปเผาบนแก้ว 2 ชั้น. และเติม Na_2HPO_4 ลงในสารทำกราน 20 ppm



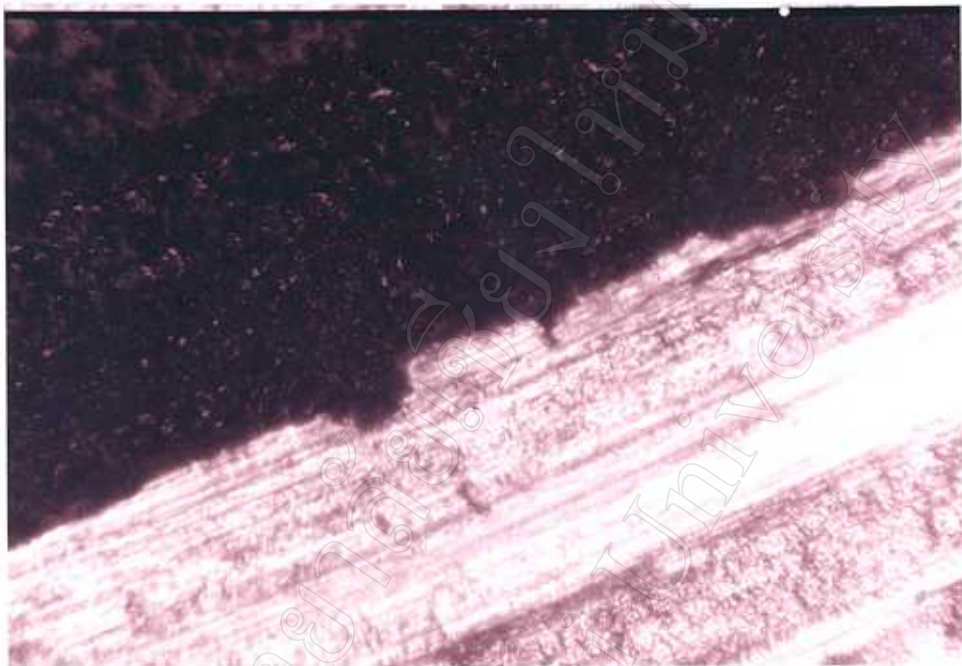
รูป 4.4 กราฟแสดงความสัมพันธ์ระหว่างอัตราการถูกย่อยกับระยะเวลาที่ทำการทดสอบของ
อะคริมไนโตรเจนที่มาจากแหล่งต้นน้ำเพื่อเปรียบเทียบกับระยะเวลาที่ทำการทดสอบของ
แมกนีเซียม Na₂HPO₄ 笠ในสารทำ jä 20 ppm สำหรับคุณภาพริชชั่น 150 °C



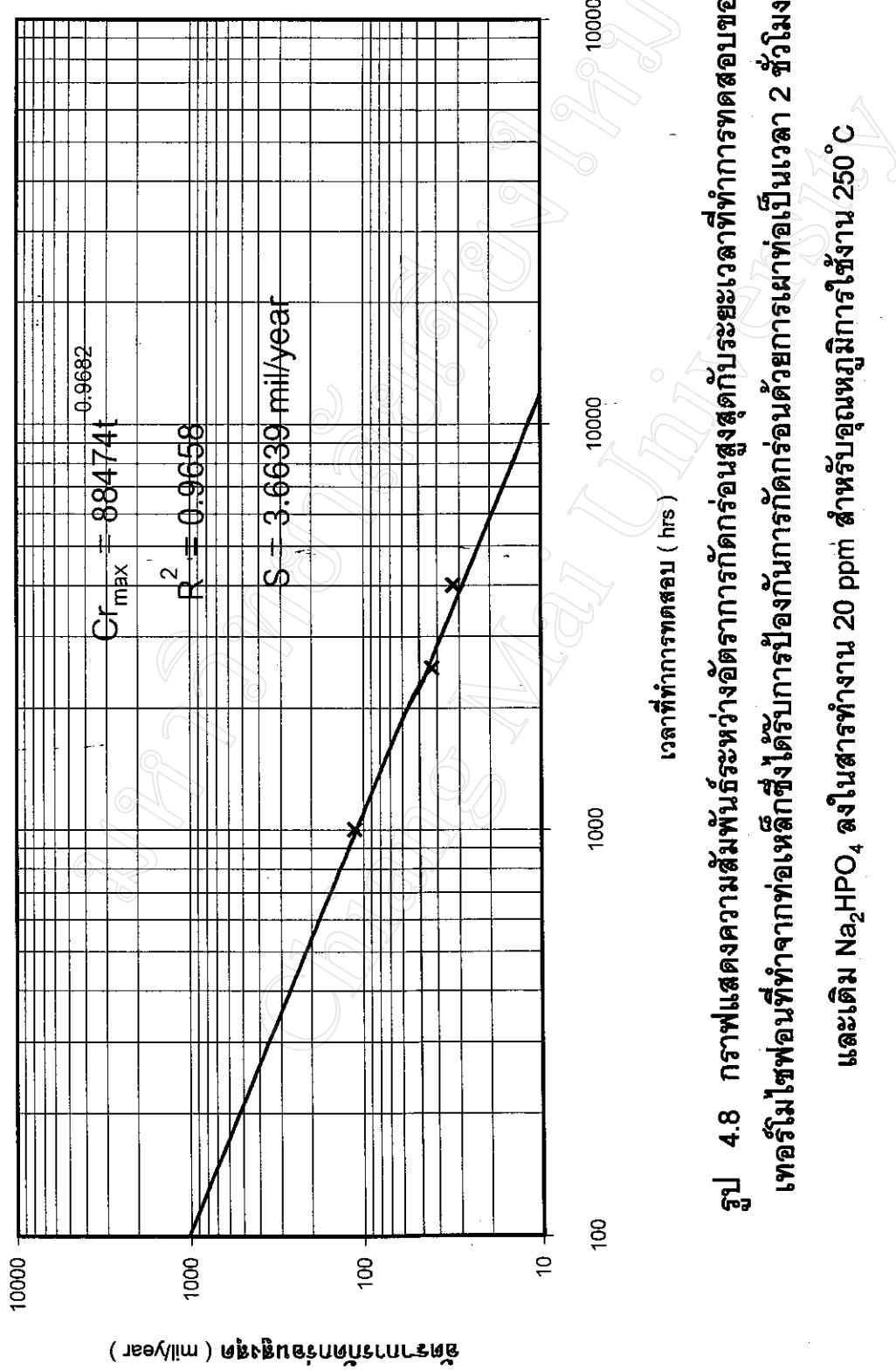
รูป 4.5 กราฟแสดงความสัมพันธ์ระหว่างอัตราการถ่ายออกซิเจนและส่วนของปั๊บโซลุชันหภูมิการใช้จ้างของเหลวร้อนที่ทำจากห่อสแตนเลสที่ผิวน้ำในเตาปิ่นร้อนที่ได้รับการป้องกันการถูกกร่อนด้วยการเติม Na_2HPO_4 ในสารทำagan 20 ppm สำหรับปริมาณเวลาการทดสอบ 1000 ชั่วโมง

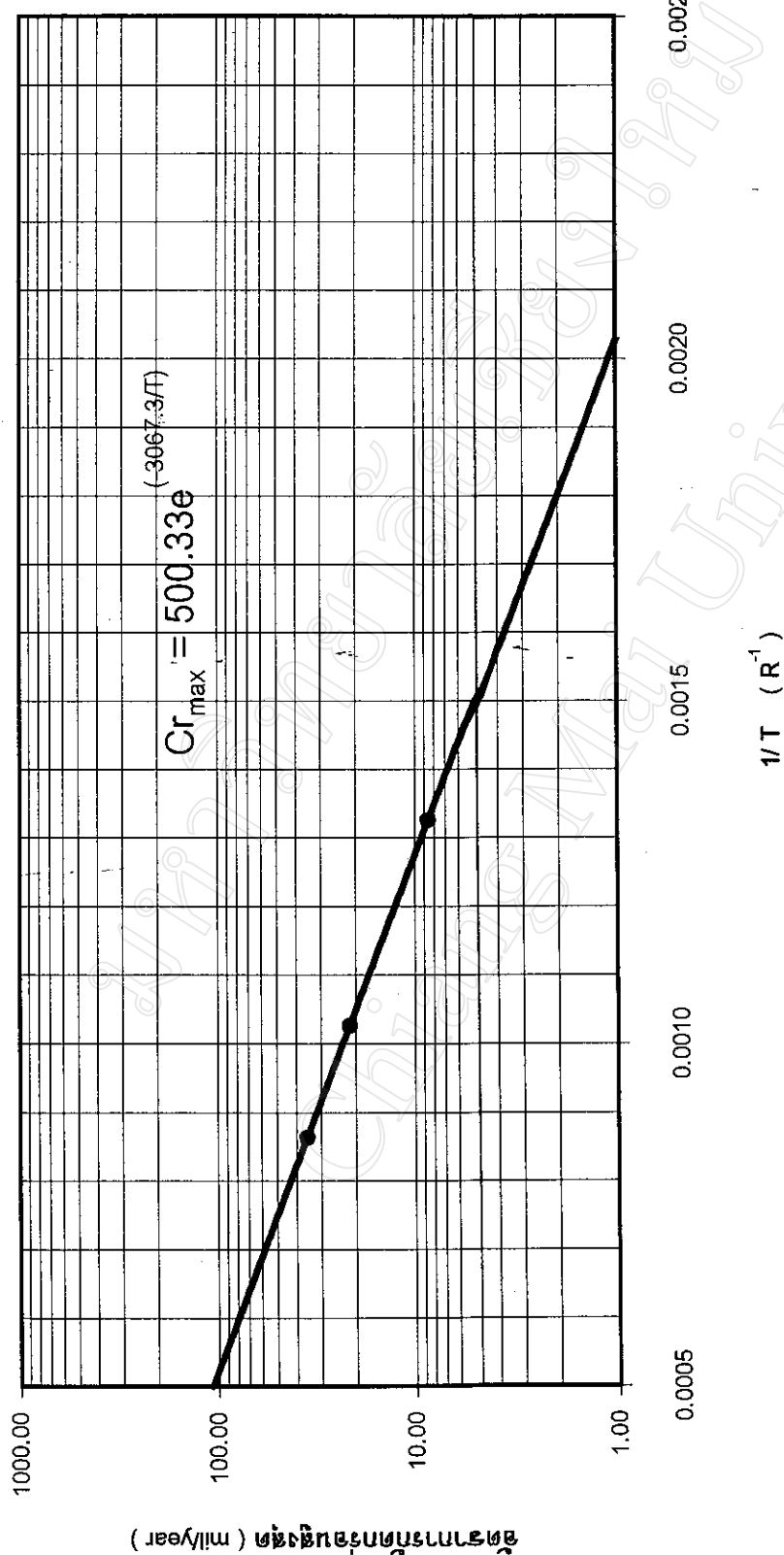


รูป 4.6 กราฟแสดงความสัมพันธ์ระหว่างอัตราการกัดกร่อนและอัตราการบดผิวของกากหินทราย
ข้อมูลโดยใช้พ่อน้ำที่จากหินสองแบบ สำหรับคุณสมภูมิการรื้อถอนและการทดสอบต่างๆ กัน

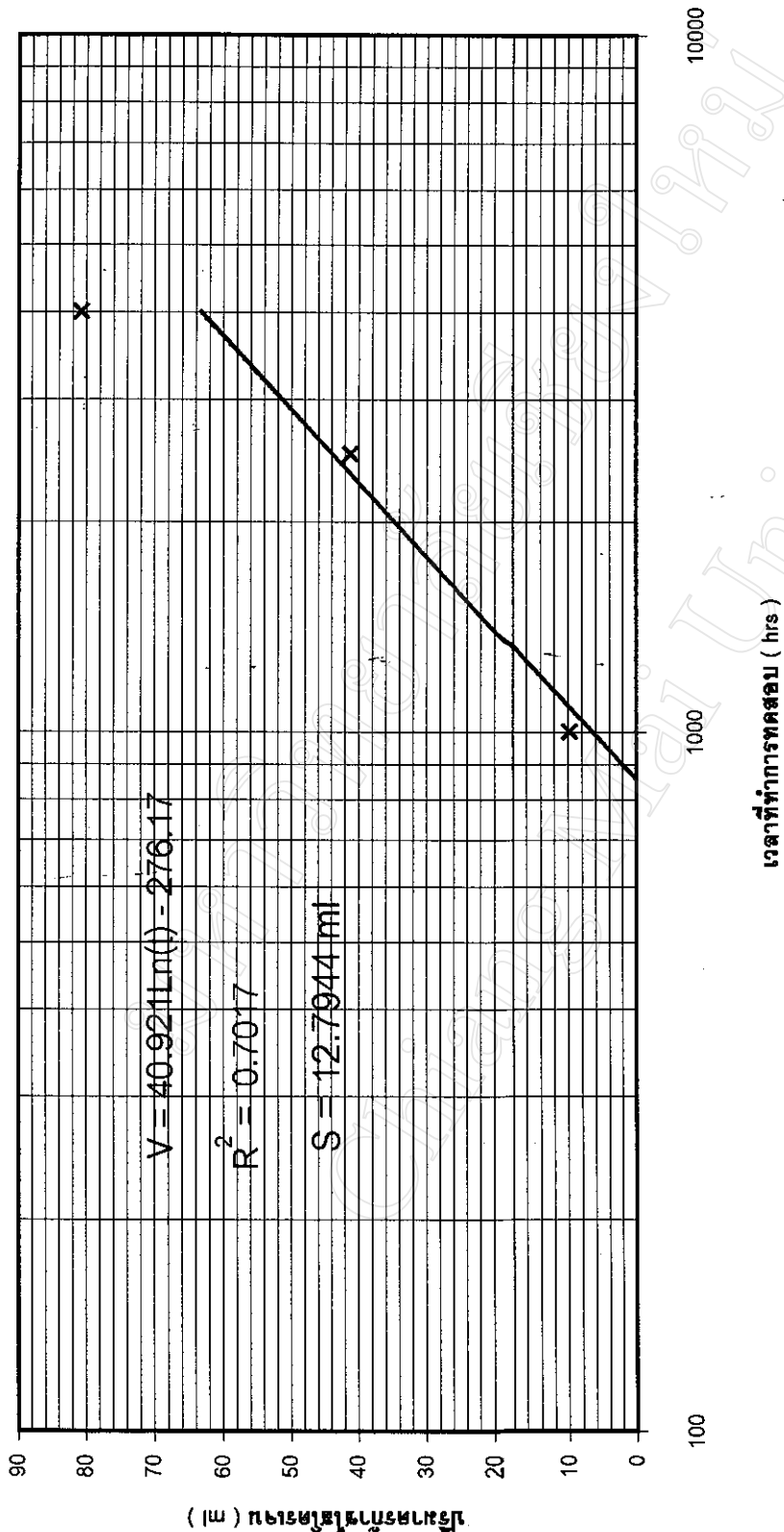


รูป 4.7 ภาพถ่ายกล้องจุลทรรศน์กำลังขยาย 25 เท่า ของภาคตัดขวางของเทอร์มิไซฟอนที่เป็นหอยเหล็กซึ่งถูกเผาเป็นเวลา 2 ชั่วโมง และมีสารทำงานเป็นน้ำผลสม Na_2HPO_4 ความเข้มข้น 10 ppm โดยผ่านการทดสอบเป็นเวลา 1000 ชั่วโมง ที่อุณหภูมิให้งาน 350°C

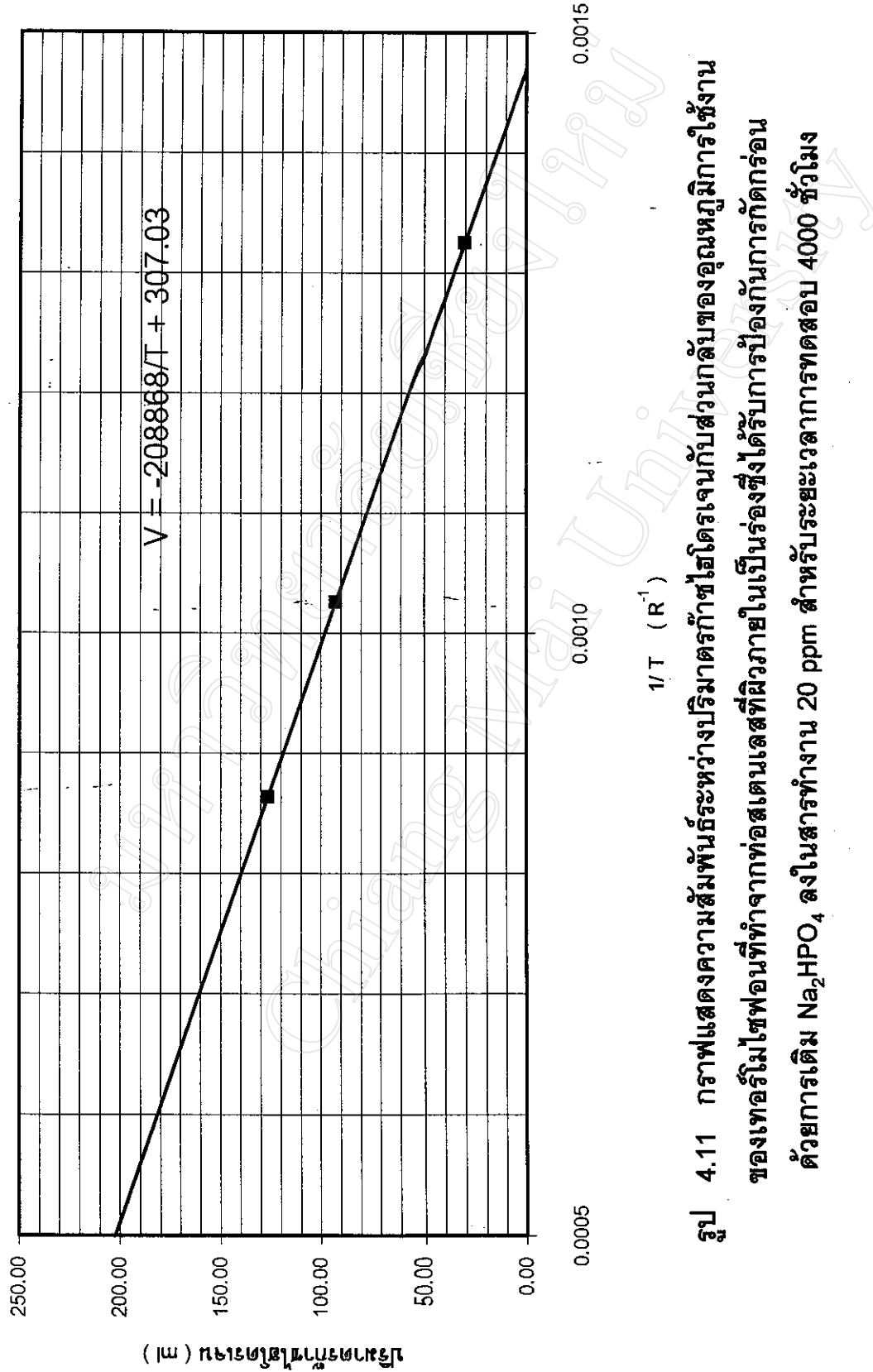




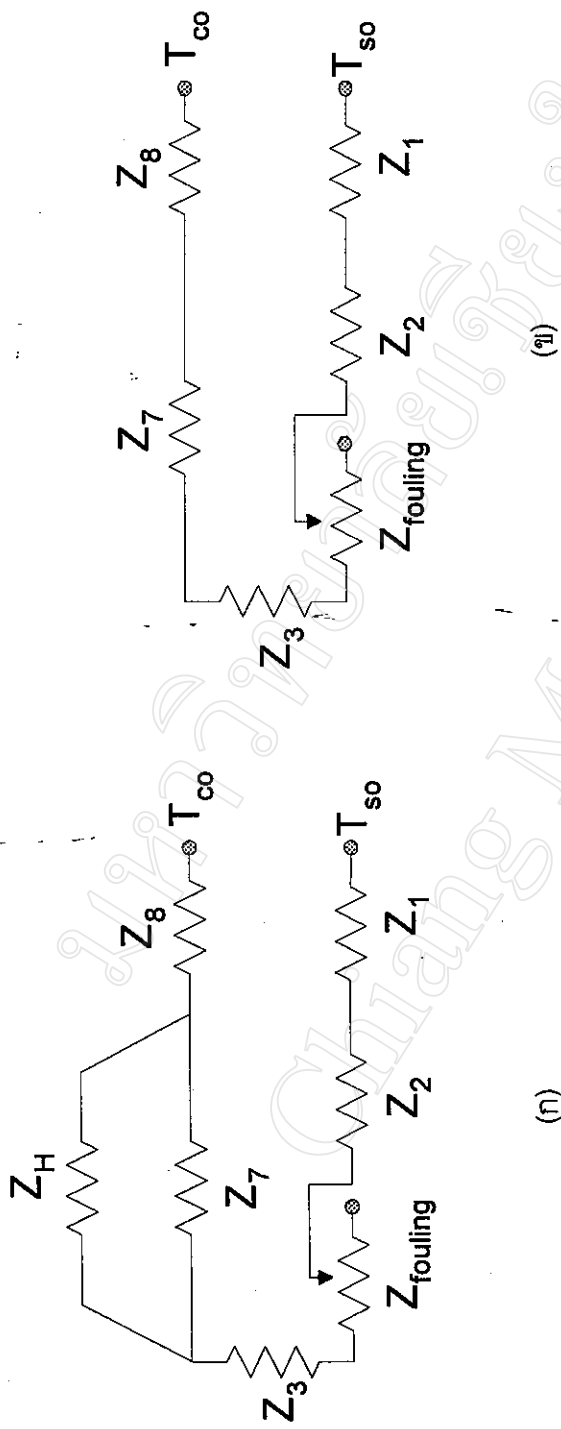
รูป 4.9 กราฟแสดงความสัมพันธ์ระหว่างอัตราการถ่ายทอดร่องรอยสูญเสียบ้านลับของอนุภูมิการใช้งานของเทอร์ไนท์เจดจากห่อเศษเนลส์ที่ผิวน้ำในเป็นร่องซึ่งได้รับการปรับองค์ประกอบก่อร่องด้วยการเติม Na_2HPO_4 ลงในสารทำ้งาน 20 ppm สำหรับระยะเวลาทดสอบ 1000 ชั่วโมง



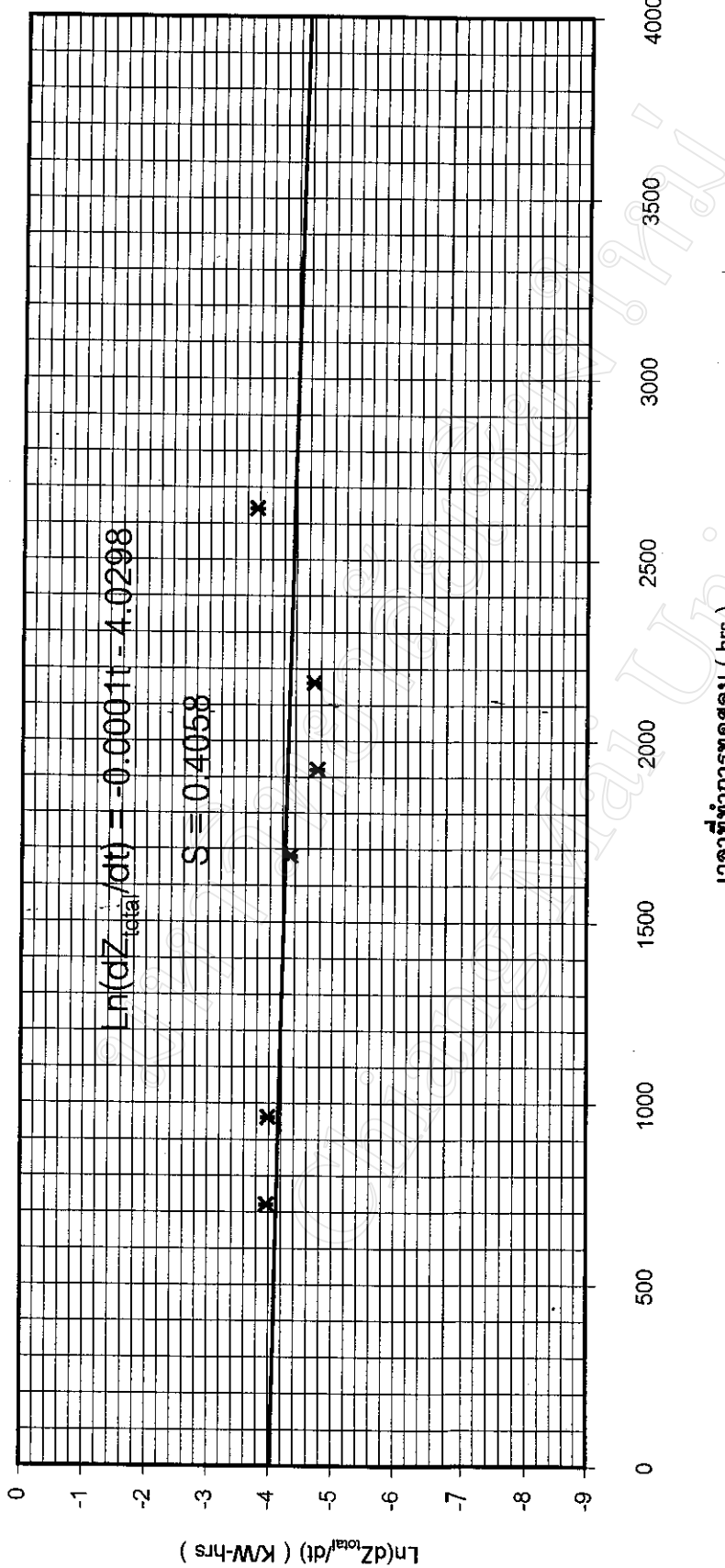
รูป 4.10 กราฟแสดงความสัมพันธ์ระหว่างปริมาณกับระยะเวลาที่ทำการทดสอบ
ของเหลวในไฟฟอนที่ทำจากอะลูมิเนียมไดร์นาร์ดีองค์กันการรักษาห้อง
ตัวอย่างเวลาที่ใช้เป็นเวลา 1 ชั่วโมง สำหรับอุณหภูมิกการใช้งาน 150 °C



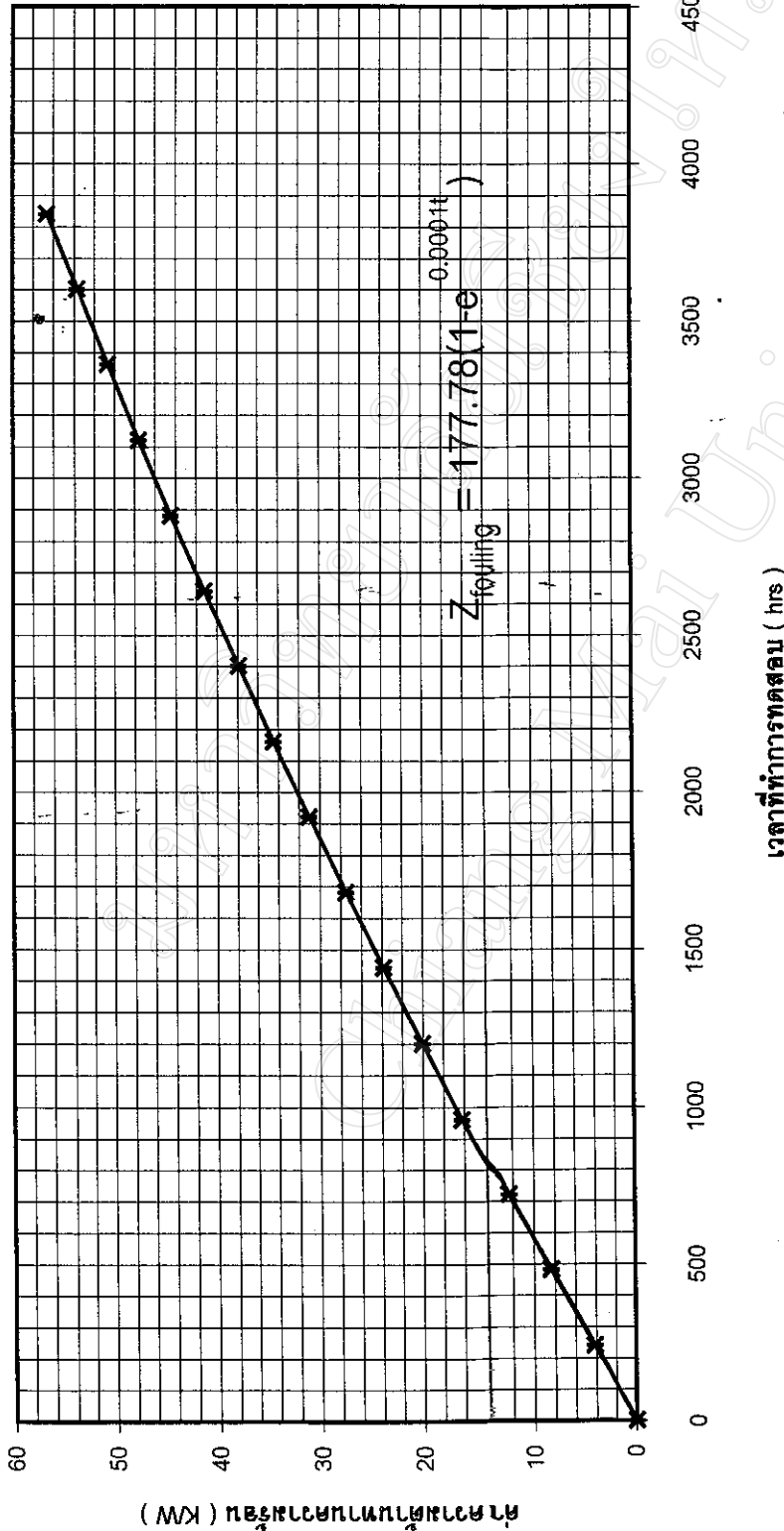
ຮູບ 4.11 ການແສດງຄວາມສໍ້ພົນທີຂະໜາດວ່າງປຣມາຕອກາຊໄໂຣໂດຣເຈນກັບສ່ວນກລັນອອນໝັງນິກາໃຫ້ຈານ
ຂອງທອກໂນໂຍ້ພອນທີທ່າງາທ້ອສເຕນແສ່ທີ່ມີກາຍໃນເປັນຮ່ອງສົງໄດ້ປັກສູງກັນການກັດກ່ອນ
ຕ້ວຍກາເຕີມ Na_2HPO_4 ລົງໃນສາທ່າງນານ 20 ppm ສໍາຮັບຮ່ອງເຈົາກາຮາດສອບ 4000 ຊົ່ວໂມງ



รูป 4.12 (ก) และ (ก) แสดงวงจรคานทรานส์ฟอร์มаторที่ประกอบด้วย Z_H , $Z_{fouling}$
(ก) แสดงวงจรคานทรานส์ฟอร์มаторที่ประกอบด้วย $Z_{fouling}$



รูป 4.13 กราฟแสดงการหาค่า ϕ_d และ β ของสมการ Fouling ของ Kem และ Seaton สำหรับแอร์ไมโครในไฟฟ้า
ที่ทำจากห่อเหล็กสีเคลือบการป้องกันการหลุดร่องด้วยการเผาท่อเป็นเวลา 1 ชั่วโมง
และเติม Na_2HPO_4 ลงในสารทำ้งา 10 ppm ที่อุณหภูมิกำร熹็จงาน 350 °C



รูป 4.14 กราฟแสดงความสัมพันธ์ระหว่างค่าความต้านทานความร้อนของ fouling กับเวลาการทดสอบ
สำหรับเอกสารในไฟล์ชนิดไฟฟ้าท่อเหล็กซึ่งได้รับการป้องกันการติดคราบด้วยสารเคมีเพียง 1 ชั่วโมง
และเติม Na_2HPO_4 ลงในสารทำ้งาน 10 ppm ที่อุณหภูมิกการใช้งาน 350°C